

## گابرو دیوریت‌های ماجراد در جنوب شرق شاهرود: شاهدهی بر آغاز بازشدگی حوضه سوپراسابداکشن نئوتتیس شاخه سبزوار در ژوراسیک میانی

مرضیه ویس کرمی\*، محمود صادقیان، حبیب‌الله قاسمی، پیام شاه‌ولی کوه‌شوری؛  
دانشگاه صنعتی شاهرود، دانشکده علوم زمین، گروه پتروژئولوژی و زمین‌شناسی اقتصادی  
جای مینگو؛ مؤسسه زمین‌شناسی و ژئوفیزیک آکادمی علوم چین (پکن) و دانشگاه نورث‌وست (شیان)  
دریافت ۹۶/۱۰/۰۷ پذیرش ۹۷/۰۹/۱۲

### چکیده

مجموعه پی‌سنگی دگرگونی-آذرین ماجراد به سن نئوپروتروزوئیک پایانی با روند شمال‌خاوری-جنوب‌باختری، در ۱۵۰ کیلومتری جنوب‌خاوری شاهرود و در حاشیه شمالی پهنه ساختاری ایران مرکزی قرار دارد. همانند دیگر مجموعه‌های پی-سنگی جنوب‌خاوری شاهرود، در شمال تنگه ماجراد، این مجموعه نیز به وسیله چند توده نفوذی گابرو دیوریتی کوچک-مقیاس و تعدادی دایک دیابازی قطع شده است. در این توده‌های گابرو دیوریتی، شواهد صحرایی تفریق‌یافتگی از گابرو تا تونالیت مشاهده شده است. این گابرو دیوریت‌ها بافت‌های دانه‌ای، افیتی، ساب‌افیتی و پوئی‌کیلیتی را نشان می‌دهند و از کلینوپروکسن اوژییتی، هورنبلند سبز، پلاژیوکلاز و بیوتیت (به‌عنوان کانیه‌های اصلی) تشکیل شده‌اند. ماگمای سازنده این سنگ‌ها دارای ماهیت کالک‌آلکالن است، از عناصر سنگ‌دوست بزرگ یون (LILEs) و عناصر خاکی نادر سبک (LREEs) غنی‌شدگی و از عناصر با قدرت میدانی زیاد (HFSEs) و عناصر خاکی نادر سنگین (HREEs) تهی‌شدگی نشان می‌دهند. برای اولین بار سن‌سنجی انجام شده به روش U-Pb روی زیرکن‌های استخراج‌شده از گابرو دیوریت‌های مورد نظر، میانگین سنی پیرامون ۱۶۶ میلیون سال (معادل با ژوراسیک میانی) برای تشکیل آن‌ها ارائه کرده است. این ماگماها، از ذوب‌بخشی یک منبع گوشته‌ای زیرقاره‌ای متاسوماتیسم شده با ماهیت اولیه اسپینل‌لرذولیتی در یک محیط کششی درون قاره‌ای پشت کمائی واقع روی زون فروران‌ش حوضه نئوتتیس زاگرس در لبه شمالی پهنه ساختاری ایران مرکزی در زمان ژوراسیک میانی ایجاد شده‌اند.

واژه‌های کلیدی: گابرو دیوریت، ژوراسیک میانی، نئوتتیس، ماجراد، شاهرود.

### مقدمه

سرزمین ایران در بخش میانی نوار چین‌خورده آلپ-همالیا قرار دارد که از غرب اروپا به طرف ترکیه و ایران کشیده شده و تا همالیا و از آن‌جا تا سواحل اقیانوس آرام ادامه می‌یابد [۱]. با حرکت رو به شمال ورقه اقیانوسی نئوتتیس زاگرس به زیر ایران مرکزی در مزوزوئیک، فعالیت‌های ماگمایی و دگرگونی نوع کمان حاشیه فعال قاره‌ای در امتداد پهنه سندانج-سیرجان ایجاد شد و حوضه‌های کششی پشت کمائی روی زون فروران‌ش (سوپراسابداکشن) به صورت حوضه‌های کششی اولیه درون قاره‌ای در تریاس بالایی-ژوراسیک زیرین شروع تشکیل شدند که بعداً در ژوراسیک میانی-کرتاسه زیرین کاملاً گسترش یافته (حوضه‌های سبزوار-نائین-بافت و سیستان) و در کرتاسه بالایی-پالئوسن بسته شدند [۲]. ماگماتیسیم بازی به سن ژوراسیک در لبه شمالی پهنه ایران مرکزی [۳]، [۴]، [۵] و [۶]

جنوب البرز [۷]، [۸] و [۹] و نوار سنندج - سیرجان [۱۰]، [۱۱]، [۱۲]، [۱۳]، [۱۴]، [۱۵] و [۱۶] گزارش شده است.

مجموعه دگرگونی ماجراد در جنوب شرق شاهرود، یکی از مناطق پی‌سنگی نئوپروتروزوئیک پایانی حاشیه شمالی ایران مرکزی است که از سنگ‌های دگرگونی با طیف ترکیبی گسترده شامل متابازیت، متاکربنات، متاپلیت، متاسامیت و متاریولیت تشکیل شده است. این مجموعه در برخی مناطق به‌ویژه در شمال تنگه ماجراد به مختصات طول‌های جغرافیایی  $55^{\circ}53'$  تا  $56^{\circ}02'$  و عرض‌های جغرافیایی  $35^{\circ}47'$  تا  $35^{\circ}54'$  به‌وسیله چند توده گابرویدیوریتی کوچک-مقیاس و تعدادی دایک دیابازی قطع شده است (شکل ۱) که برای اولین بار در این پژوهش، از لحاظ پترولوژیکی، دقیقاً بررسی شدند. در این نوشتار، با تکیه بر پژوهش‌های دقیق صحرایی، سنگ‌نگاری، شیمی‌کانی و شیمی‌سنگ کل و به‌ویژه سن‌سنجی به‌روش اورانیم-سرب روی کانی زیرکن استخراج شده از گابرویدیوریت‌ها، ماگماتیسزم بازی این منطقه به‌عنوان شاهدی بر شروع باز شدن حوضه نئوتتیس اقیانوس سبزوار در ژوراسیک میانی معرفی شده است. پژوهش‌گران پیشین [۱۷]، [۱۸]، [۱۹]، [۲۰]، [۲۱]، [۲۲]، [۲۳]، [۲۴]، [۲۵]، [۲۶] و [۲۷] باز شدن این حوضه را در کرتاسه بالا و بسته شدن آن را در کرتاسه بالایی-پالئوسن قلمداد کرده‌اند.

به‌دلیل واقع شدن مجموعه دگرگونی ماجراد در محدوده پارک ملی توران و محدودیت‌های قانونی برای ورود به منطقه، تاکنون به‌غیر از نقشه زمین‌شناسی ۱:۲۵۰۰۰۰ خارتوران [۲۸] و نقشه‌های زمین‌شناسی ۱:۱۰۰۰۰۰ دره-دایی [۲۹] و ابریشم رود [۳۰]، هیچ‌گونه بررسی علمی جامعی روی سنگ‌های این منطقه انجام نشده است و این پژوهش در نوع خود برای اولین بار انجام شده است.

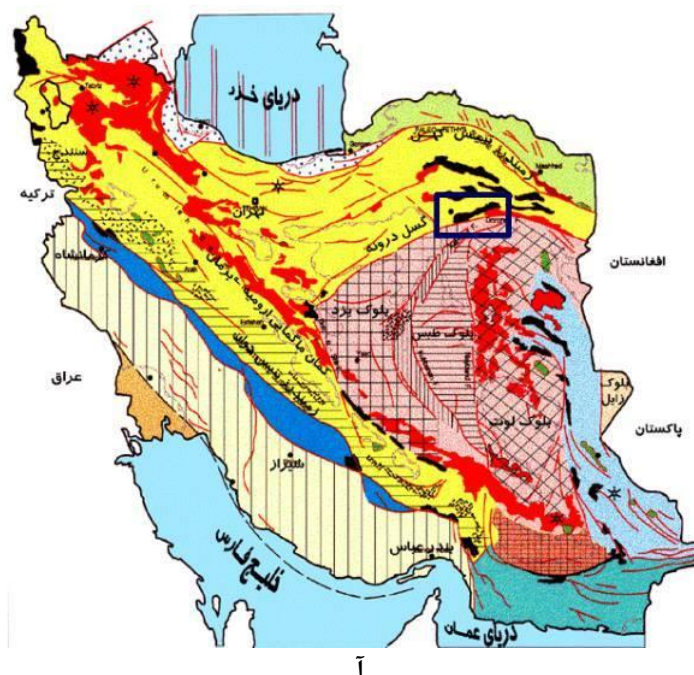
### روش پژوهش

پس از گردآوری منابع، سوابق پژوهش، نقشه‌ها و تصاویر ماهواره‌ای، عملیات صحرایی برای بررسی‌های زمین‌شناسی و برداشت نمونه انجام شد و حدود ۱۵۰ نمونه سنگی مناسب برای بررسی‌های میکروسکوپی برداشت شد. به‌منظور تعیین ویژگی‌های ژئوشیمیایی، ۱۱ نمونه از سنگ‌های دارای تنوع ترکیبی لازم و با حداقل دگرسانی انتخاب و برای تجزیه شیمیایی سنگ کل به آزمایشگاه ACME کشور کانادا ارسال شد و به‌روش‌های ICP-OES و ICP-MS تجزیه شد. ۸ نمونه نیز در آزمایشگاه ژئوشیمی مؤسسه زمین‌شناسی و ژئوفیزیک آکادمی علوم چین از نظر شیمیایی سنگ کل تجزیه شد. در این آزمایشگاه، مقادیر عناصر اصلی به‌روش XRF و عناصر کمیاب به‌روش ICP-OES و ICP-MS اندازه‌گیری شد. اندازه‌گیری نسبت‌های ایزوتوپی U و Pb به‌روش LA-ICPMS<sup>۱</sup> در آزمایشگاه State Key Laboratory of Lithospheric Evolution, Northwest University Xian روی سه نمونه انجام شده است.

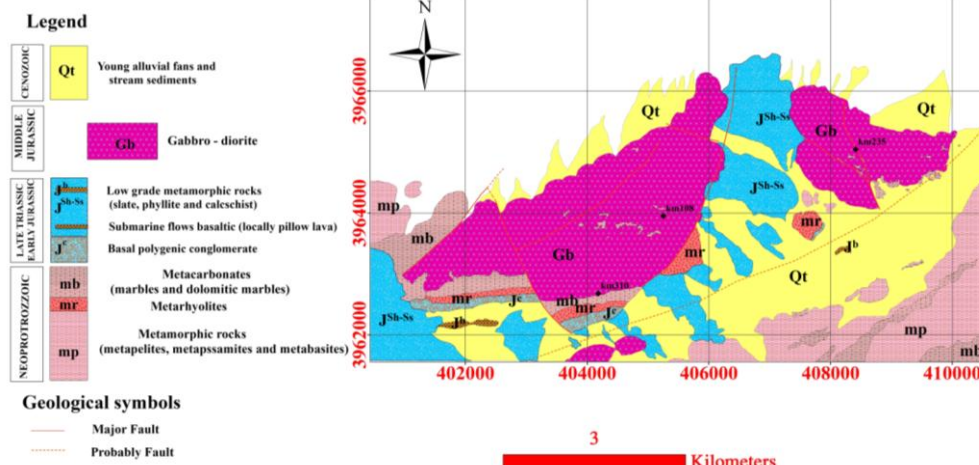
### زمین‌شناسی منطقه

مجموعه دگرگونی-آذرین ماجراد دربرگیرنده طیف‌وسیی از سنگ‌های آذرین و دگرگونی‌ناحیه‌ای به سن نئوپروتروزوئیک پایانی است. سنگ‌های دگرگونی این مجموعه شامل متاسامیت، متاگری‌وک، متاپلیت، متاکربنات،

1. Laser ablation inductively coupled plasma mass spectrometry



آ



ب

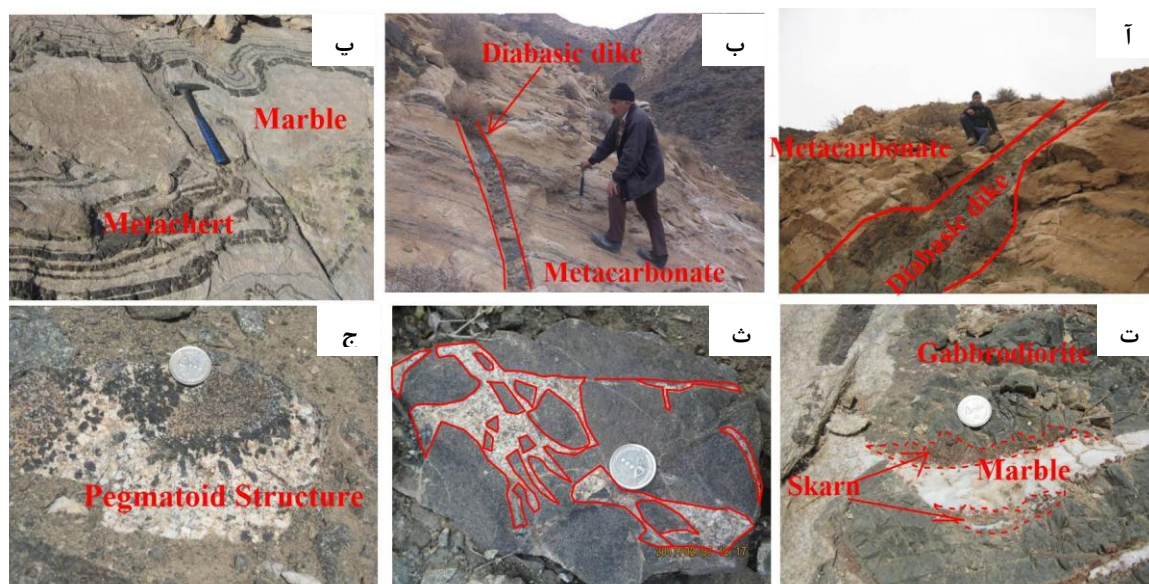
شکل ۱. آ) نقشه زمین‌شناسی ایران که موقعیت منطقه بررسی شده روی آن مشخص شده است، ب) نقشه زمین‌شناسی نشان‌دهنده محدوده رخنمون گابرویدوریت‌های شمال تنگه ماجراد و سنگ‌های دگرگونی میزبان‌شان به سن نئوپروتروزوئیک پایانی. این نقشه بر اساس برداشت‌های صحرایی، تصاویر ماهواره‌ای گوگل ارث و نتایج سنسنجی ایزوتوپی ترسیم شده است و در ضمن موقعیت نمونه‌های سنسنجی روی آن مشخص شده است.

متابازیت و متاریولیت هستند. در این مجموعه دگرگونی- آذرین، متابازیت‌ها و متاکربنات‌ها سهم چشم‌گیری دارند و به‌صورت طیف سنگی گسترده از شست‌سبز تا گارنت آمفیبولیت و مرمرهای آهکی و دولومیتی دارای نوارهای چرتی گریگون‌شده رخنمون دارند. علاوه بر سنگ‌های نامبرده، کانه‌زایی از نوع آهن و آهن و منگنز با ماهیت آتشفشانی رسوبی در چندین نقطه از منطقه ماجراد نیز مشاهده می‌شود. کانه‌زایی مس با ترکیب کانی‌شناسی مالاکیت و آزوریت همراه با

مقادیر کمی اکسیدهای آهن و منگنز در پهنه‌های گسلی ایجاد شده در مرم‌های آهکی و دلمومیتی مشاهده می‌شود که در معدن مس حلواپی به‌وضوح قابل مشاهده است. توده‌های نفوذی گابرودیوریتی در بخش مرکزی و شمالی مجموعه ماجراد (شمال تنگه ماجراد) به درون این مجموعه دگرگونی نفوذ کرده است و وسعت آن‌ها به حدود ۱۵ کیلومتر مربع می‌رسد. (شکل‌های ۱ و ۲).

در این توده‌های گابرودیوریتی تغییرات ترکیبی از اعضای مافیک تا فلسیک همراه با تبلور و تفریق، شواهدی از تفریق ماگمایی و گسیختگی بخش‌های قبلی مشاهده می‌شود (شکل ۲ ت) بخش‌های تفریق‌یافته دارای کانی‌های روشن بیش‌تری هستند، پلاژیوکلاز مهم‌ترین کانی فلسیک بخش‌های روشن است. بخش‌های تفریق‌یافته به‌صورت پگماتوئیدهای گابرودیوریتی، لوکودیوریتی و تونالیتی ظاهر شده‌اند. در حاشیه‌های توده‌های نفوذی، شواهدی از تزریق ماگماهای بازیک - حدواسط به‌صورت دایک مشاهده می‌شود (شکل ۲ ب). نفوذ این توده‌های آذرین در درون سنگ‌های مجموعه ماجراد با دگرگونی همبری همراه بوده است و در واقع شواهدی از چنددگرگونی در سنگ‌های میزبان مشاهده می‌شود. دگرگونی همبری در مرم‌های آهکی بارزتر است و در برخی نقاط شواهدی از اسکارن‌زایی مشاهده می‌شود. گارنت از نوع گروسولار - آنداردیت (قهوه‌ای شکلاتی)، دیوپسید و وزوویانیت از کانی‌های کالک سیلیکاته بارز اسکارن‌ها هستند (شکل ۲ ث).

در برخی مناطق، سنگ مرم‌ها با نوارهای چرتی زیادی همراه هستند که ضخامت آن‌ها از چند سانتی‌متر تا چند دسی‌متر متغیر است. نوارهای چرتی دگرگون شده که رنگ آن‌ها از تیره به خاکستری روشن تا سبز تغییر پیدا کرده است، بیان‌گر افزایش اندازه دانه‌های کوارتز و رشد و تشکیل دانه‌های اپیدوت است. بر اثر تنش‌های ناحیه‌ای تحمیلی بر مرم‌ها، چین‌خوردگی‌های زیادی در آن‌ها مشاهده می‌شود (شکل ۲ پ).

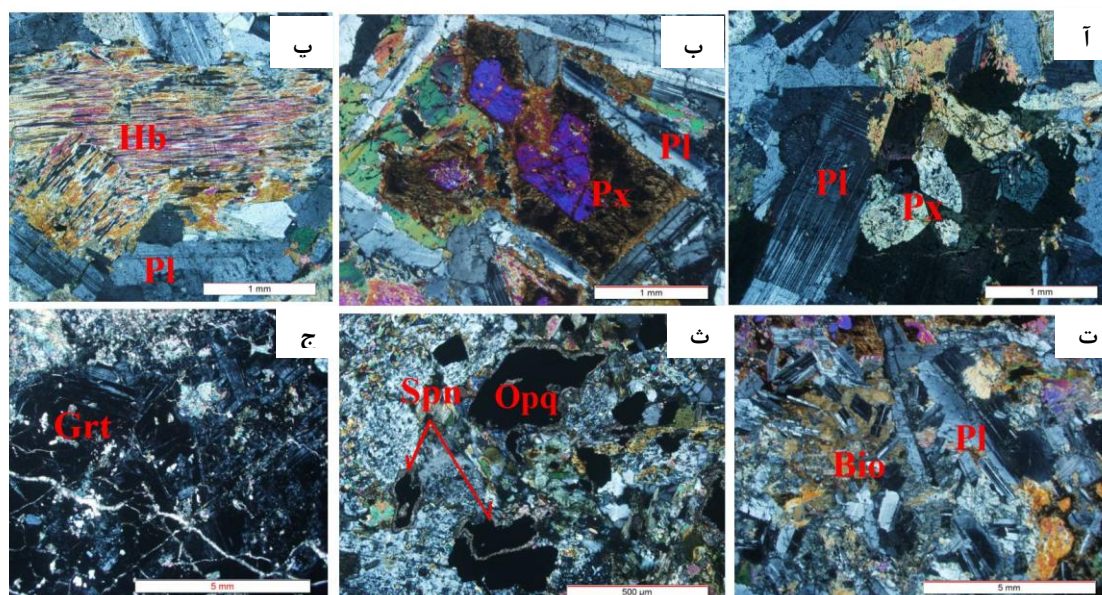


شکل ۲. آ، ب) قطع شدگی مرم‌های میزبان به‌وسیله دایک‌های دیابازی (یا میکروگابرویی)، پ) نوارهای چرتی دگرگون شده و چین‌خورده در مرم‌های میزبان توده‌های گابرودیوریتی ت - گسیختگی سنگ‌های گابرودیوریتی و پرشدن فضای بین بخش‌های گسیخته‌شده توسط مشتقات تفریق‌یافته لوکودیوریتی تا تونالیتی، ث - نمای نزدیکی از اسکارن‌زایی و تشکیل گارنت‌های کلسیم‌دار ج - نمای نزدیک از سنگ‌های لوکوگابرویی تا لوکودیوریتی دارای ساخت پگماتوئیدی.

### سنگ‌نگاری و شیمی کانی‌ها

پلاژیوکلاز، پیروکسن (از نوع اوژیت)، هورنبلند و بیوتیت به‌عنوان کانی‌های اصلی، روتیل، اسفن، آپاتیت، اپیدوت، گارنت، مگنتیت و زیرکن به‌صورت کانی‌های فرعی و کلریت، اپیدوت و اکسیدهای آهن به‌عنوان کانی‌های ثانویه در سنگ‌های گابرو دیوریتی حضور دارند. این سنگ‌ها دارای بافت‌های دانه‌ای، افیتی، ساب‌افیتی و پوئی کیلیتی هستند (شکل ۳). بافت افیتی نشان‌دهنده رشد همزمان یا تقریباً همزمان پیروکسن و پلاژیوکلاز است [۳۱].

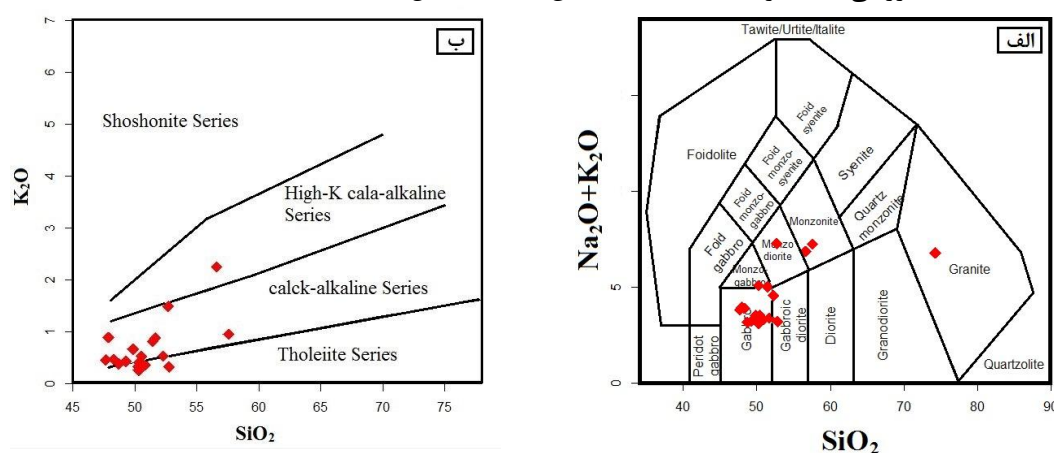
پلاژیوکلازها به‌صورت شکل‌دار، نیمه‌شکل‌دار، تیغه‌ای و منشوری به دو حالت درشت‌بلور و میکرولیت در سنگ مشاهده می‌شوند (شکل ۳ آ و ب) و دارای ادخال‌هایی از آپاتیت هستند. پیروکسن به‌صورت نیمه‌شکل‌دار مشاهده می‌شود. برخی از آن‌ها در مراحل پایانی تبلور تفریقی به‌وسیله بیوتیت جایگزین شده و برخی نیز در طی فرایندهای دگرسانی، اورالیتی شده‌اند و به‌وسیله آمفیبول جایگزین شده‌اند (شکل ۳ ث). هورنبلند سبز نیز یکی از کانی‌های اصلی سازنده این سنگ‌ها است که در دیوریت‌ها بیش‌تر حضور دارد. بیوتیت به‌صورت بلورهای نیمه‌شکل‌دار با چندرنگی قهوه‌ای و ادخال‌هایی از بلورهای سوزنی شکل روتیل مشاهده می‌شود (شکل ۳ ت). البته، روتیل به‌صورت دانه‌های ریز مستقل نیز دیده می‌شود. در برخی موارد، بلورهای روتیل به‌وسیله حاشیه‌ای از اسفن در بر گرفته شده‌اند. این امر نشان می‌دهد که با کاهش تیتانیوم ماگما، به‌جای روتیل، اسفن متبلور شده است. در اطراف برخی از کانی‌های اوپک دارای ترکیب تیتانومگنتیتی، هاله‌ای از اسفن تشکیل شده است که بیان‌گر زیاد بودن مقدار  $TiO_2$  در ماگماهای سازنده این سنگ‌ها است (شکل ۳ ج). اپیدوت، کلریت، کلسیت، اکتینولیت و اکسیدها و هیدرواکسیدهای آهن نیز به‌عنوان کانی‌های ثانویه در این سنگ‌ها یافت می‌شوند.



شکل ۳. آ) گابرو با بافت افیتی (ب) بافت افیتی در گابرو دیوریت‌ها و جانشینی آمفیبول به جای پیروکسن (پ) اورالیتی شدن پیروکسن‌ها و تشکیل آمفیبول (ت) حضور بیوتیت در گابرو دیوریت‌ها (ث) تشکیل اسفن در حاشیه کانی‌های اوپک و (ج) تصویری از گارنت با منطقه‌بندی ترکیبی در اسکارن‌های هاله دگرگونی همبری (Pl پلاژیوکلاز، Px پیروکسن، Hb هورنبلند، Bio بیوتیت، Opq کانی‌های اپاک، Spn اسفن و Grt گارنت)

## نام‌گذاری و تعیین سری ماگمایی

نتایج داده‌های تجزیه شیمیایی سنگ کل شامل عناصر اصلی، فرعی، کمیاب و کمیاب خاکی در جدول ۱ ارائه شده است. بر اساس نمودارهای رده‌بندی سنگ‌های آذرین میدلموست و همکاران [۳۲] نمونه‌های بررسی شده در محدوده گابرو، گابرودیوریت، مونزوگابرو، مونزودیوریت، مونزونیت و گرانیت قرار می‌گیرند (شکل ۴ الف). بررسی مقاطع میکروسکوپی سنگ‌هایی که در محدوده ترکیبی مونزوگابرو، مونزودیوریت، مونزونیت قرار می‌گیرند، نشان می‌دهد که مقادیر فلدسپار پتاسیم مُدال موجود در این سنگ‌ها ناچیز یا بسیار کم است. بررسی‌های پتروگرافی دقیق نشان می‌دهد که عامل گرایش این سنگ‌ها به سمت ترکیبات مونزونیته، حضور چشم‌گیر بیوتیت است. در واقع به علت فراوانی عناصر Fe و Mg در محیط تبلور ماگماهای گابرودیوریتی،  $K_2O$  ترجیحاً در ساخت بیوتیت مشارکت کرده است. لازم به ذکر است، با توجه به پتروگرافی، سنگ‌های فلسیک بررسی شده (یعنی حضور گسترده پلاژیوکلاز، حضور مقادیری کوارتز و نبود فلدسپار پتاسیم)، بهتر است برای نام‌گذاری این سنگ‌ها، به جای واژه گرانیت که از نمودارهای ژئوشیمیایی استنباط می‌شود، از واژه تونالیت استفاده کنیم. بر اساس نمودار  $K_2O$  در مقابل  $SiO_2$  پکسرلیو و تیلور، [۳۳] اغلب سنگ‌های بررسی شده دارای ماهیت کالک‌آلکالن هستند (شکل ۴ ب).



شکل ۴. موقعیت نمونه‌های سنگی آذرین درونی ژوراسیک میانی مجموعه ماجراد در نمودارهای: الف)  $Na_2O+K_2O$  در مقابل  $SiO_2$  [۳۲]. ب)  $K_2O$  در مقابل  $SiO_2$  [۳۳]

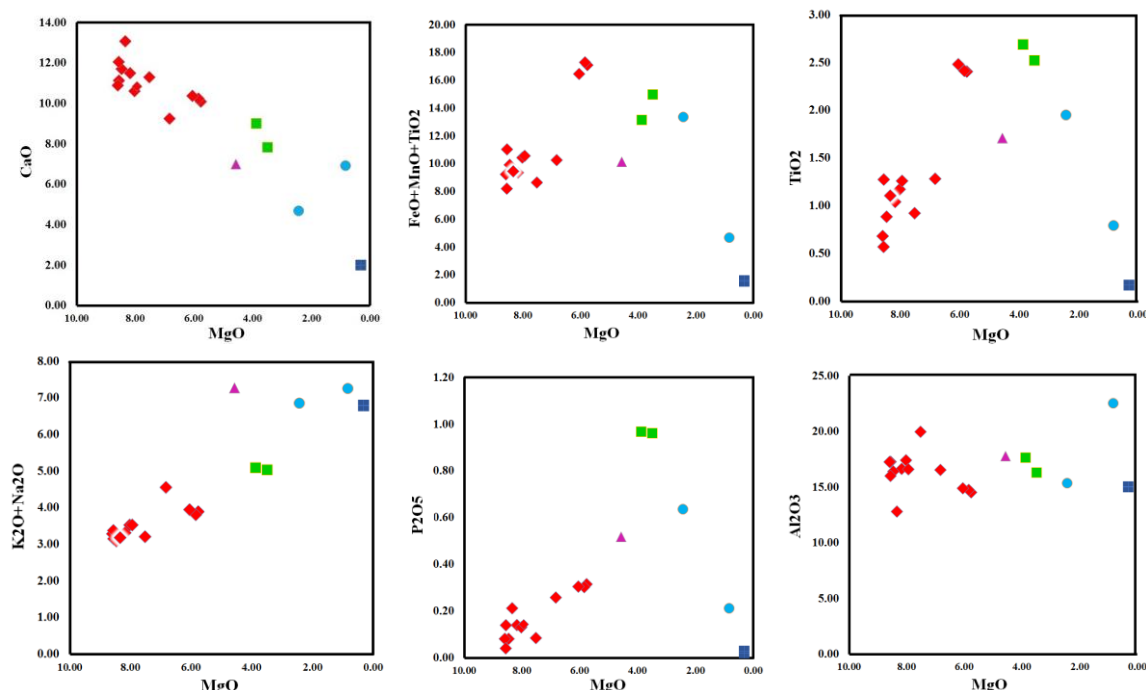
## بررسی نمودارهای تغییرات عناصر اصلی و کمیاب

به علت این‌که دامنه تغییرات  $SiO_2$  در سنگ‌های بررسی شده به‌ویژه بخش گابرودیوریتی بسیار محدود است و نمی‌تواند تغییر و تحولات سنگ‌شناسی را به‌خوبی منعکس سازد، بنابراین به‌منظور بررسی فرآیندهای مؤثر در تبلور و تحول ماگمای سازنده گابرودیوریت‌ها، از نمودارهای اکسیدهای عناصر اصلی در مقابل  $MgO$  فنر [۳۴]، (شکل ۶) استفاده شده است که یکی از پرکاربردترین جای‌گزین‌ها برای نمودارهای هارکر است. در نمودار  $CaO$  در مقابل  $MgO$ ، روندی خطی و نزولی مشاهده می‌شود که بیان‌گر تحول تفریقی سنگ‌های بررسی شده در خلال تبلور تفریقی است، با پیش‌رفت روند تبلور تفریقی پلاژیوکلازهای سدیک‌تر جای‌گزین پلاژیوکلازهای کلسیک‌تر شده‌اند. در نمودار  $FeO+MnO+TiO_2$  در مقابل  $MgO$ ، با کاهش  $MgO$  ابتدا مقدار مجموع  $FeO+MnO+TiO_2$  روندی افزایشی نشان می‌دهد که ناشی از تبلور کانی‌های غنی از آهن و منیزیم به‌ویژه مگنتیت و تیتانومگنتیت، در مراحل ابتدایی

تبلور و به تبع آن افزایش مقدار  $\text{FeO}$  و  $\text{TiO}_2$  است. در مراحل بعدی فرآیند تبلور تفریقی و تحول ماگما، تغییرات مجموع  $\text{FeO}+\text{MnO}+\text{TiO}_2$  دوباره سیر کاهشی نشان می‌دهد. تغییرات  $\text{TiO}_2$  در مقابل  $\text{MgO}$  نشان می‌دهد که مقدار  $\text{TiO}_2$  از گابروها به سمت مونزوگابرو و مونزودوریت‌ها افزایش می‌یابد و سپس با تبلور کانی‌های حاوی تیتانیم و جدایش آن‌ها از ماگما، مقدار این اکسید روند کاهشی نشان می‌دهد. کانی‌های بارز حاوی تیتانیم در سنگ‌های بررسی شده شامل تیتانومگنتیت، ایلمنیت، اسفن و روتیل هستند. در نمودار مجموع  $\text{Na}_2\text{O}+\text{K}_2\text{O}$  در مقابل  $\text{MgO}$ ، روندی صعودی و نسبتاً خطی مشاهده می‌شود، به طوری که از گابرویدوریت‌ها به سمت مونزودوریت‌ها و تونالیت‌ها مقدار مجموع این اکسیدها افزایش می‌یابد، این روند با خط سیر تبلور تفریقی و تحول ماگماهای سازنده گابرویدوریت‌های ماجراد سازگار است. نمودار  $\text{P}_2\text{O}_5$  در مقابل  $\text{MgO}$ ، نشان می‌دهد که از گابروها به سمت مونزوگابروها، مقدار  $\text{P}_2\text{O}_5$  روند افزایشی داشته و در مونزوگابروها به بیش‌ترین مقدار خود (حدود یک درصد) می‌رسد. به سمت ترکیبات گرانودوریتی و تونالیتی، مقدار  $\text{P}_2\text{O}_5$  به سرعت کاهش پیدا کرده و در تونالیت‌ها که تفریق یافته‌ترین فاز سنگی بررسی شده هستند به حداقل خود می‌رسد. حضور بلورهای سوزنی شکل یا منشورهای ریز آپاتیت در مونزوگابروها تأیید کننده این موضوع است. نمودار تغییرات  $\text{Al}_2\text{O}_3$  در مقابل  $\text{MgO}$  نیز روند تقریباً یکنواختی نشان می‌دهد،  $\text{Al}_2\text{O}_3$  در ساخت فلدسپارها به ویژه پلاژیوکلازها مشارکت می‌کند و مقدار کمی از آن نیز وارد ساختار بیوتیت می‌شود. نشانه‌های به کار برده شده برای گروه‌های سنگی مختلف عبارتند از:

◆ Gb    ● Grd    ▲ Mzd    ■ MzGb    ■ Ton

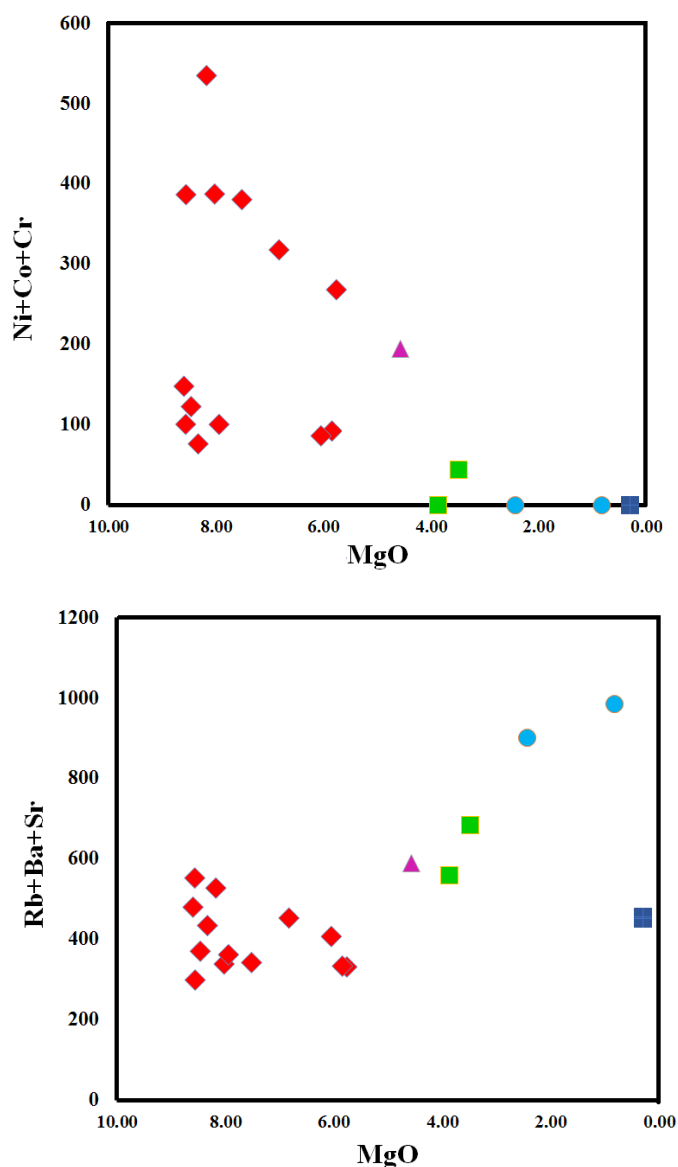
شکل ۵. نشانه‌های به کار رفته در رسم نمودارها



شکل ۶. موقعیت نمونه‌های سنگی آذرین درونی ژوراسیک میانی مجموعه ماجراد

در نمودارهای تغییرات  $\text{MgO}$  در برابر اکسیدهای اصلی [۳۴]

در نمودارهای فتر عناصر فرعی (شکل ۷)، مجموع عناصر Ni, Co و Cr در مقابل MgO روند نزولی نشان می‌دهد، با توجه به تشابه شعاع یونی Ni, Co و Cr این عناصر در کانی‌های آهن و منیزیم‌دار وارد می‌شوند و در نتیجه تغییرات آن‌ها از تغییر فراوانی این کانی‌ها تبعیت می‌کند. در نمودار مجموع Rb+Sr+Ba در مقابل MgO روند صعودی مشاهده می‌شود، از آنجایی که این عناصر از جمله عناصر لیتوفیل بزرگ یون هستند در فازهای مافیک اولیه وارد نمی‌شوند، با پیشرفت تبلور در مراحل انتهایی جانشین K در ساختار کانی‌هایی مانند آلکالی فلدسپار، بیوتیت و هورنبلند می‌شوند، در نتیجه از ترکیبات مافیک به سمت فلسیک مقدار مجموع این عناصر روند افزایشی نشان می‌دهد.

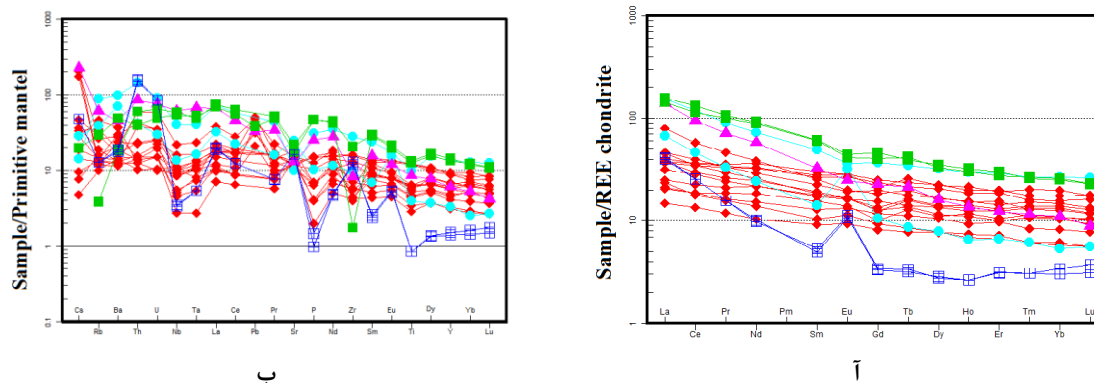


شکل ۷. نمودارهای تغییرات مجموع برخی از عناصر فرعی در مقابل MgO [۳۴]

### بررسی نمودارهای عناصر کمیاب خاکی و عنکبوتی

الگوی تغییرات عناصر کمیاب خاکی به‌هنگار شده به کندریت بوینتون [۳۵]، (شکل ۸ آ) و نمودار چند عنصری (عنکبوتی) به‌هنگار شده به گوشته اولیه سان و مک‌دونوف [۳۶]، (شکل ۸ ب) بیان‌گر آن است که سنگ‌های گابرو دیوریتی شمال تنگه‌ماجراد از عناصر کمیاب خاکی سبک (LREEs) نسبت به عناصر کمیاب خاکی سنگین (LREEs) غنی‌شدگی بیش‌تری نشان می‌دهند. این نوع الگوی تغییرات عناصر کمیاب خاکی می‌تواند به تفکیک کانی‌های حاوی این عناصر در خلال تبلور تفریقی ماگماهای مافیک تا حدواسط مربوط باشد [۳۷]. غنی‌شدگی از عناصر کمیاب خاکی سبک را می‌توان به درجات ذوب‌بخشی پایین (کم‌تر از ۱۵ درصد)، منبع گوشته‌ای نیز نسبت داد [۳۸]. در نمودارهای به‌هنگار شده نسبت به گوشته اولیه، غنی‌شدگی از عناصر لیتوفیل بزرگ‌یون نظیر K, Cs, Th, Pb و تهی‌شدگی از عناصر با شدت میدان بالا HFSE مانند Nb و Zr مشاهده می‌شود. بی‌هنگاری منفی Ti, Nb و P به جدایش آپاتیت، تیتانومگنتیت، روتیل و ایلمنیت از ماگما [۳۹] و یا آلیش ماگما با مواد پوسته‌ای [۴۰] در حین صعود و جای‌گیری نسبت داده شده است. هم‌چنین تهی‌شدگی از Nb می‌تواند حاصل نشأت‌گیری از گوشته غنی‌شده یا آلیش ماگمایی باشد [۴۱]. سنگ‌های بررسی شده غالباً نسبت به Pb غنی‌شدگی چشم‌گیری نشان می‌دهند، با توجه به حضور گسترده کانی‌های پتاسیک مافیک به‌ویژه بیوتیت در گابروها و دیوریت‌ها می‌توان نتیجه گرفت که غنی‌شدگی سنگ‌های موردنظر از سرب حاصل ذوب‌بخشی با نرخ کم یک خاستگاه گوشته‌ای متاسوماتیسم‌شده و آلیش ماگما با پوسته قاره‌ای در ارتباط است (شکل ۹ ث).

بر اساس شواهد پتروگرافی نظیر تبدیل پیروکسن (اوژیت) و آمفیبول (هورنبلند سبز) به بیوتیت، متاسوماتیسم مورد نظر از نوع پتاسیک بوده است. سنگ‌های تونالیتی نسبت به سایر واحدهای سنگی سازنده توده‌های گابرو دیوریتی ماجراد، از عناصر کمیاب خاکی سنگین تهی‌شدگی چشم‌گیری نشان می‌دهند. این امر از جدایش کانی‌های سیلیکاته مافیک در مراحل قبلی و نبود این کانی‌ها در تونالیت‌ها ناشی می‌شود. از سوی دیگر تونالیت‌ها از Eu، غنی‌شدگی نشان می‌دهند، این پدیده به دلیل وجود مقادیر چشم‌گیر پلاژیوکلاز در تونالیت‌ها است. از سوی دیگر، نگاهی به (شکل ۷ آ) نشان می‌دهد که با تفریق ماگما و تحول به سمت ترکیبات مونزوگابرویی و مونزو دیوریتی و هم‌چنین گرانودیوریت‌ها، عناصر کمیاب خاکی سبک غنی‌شدگی بارزی نشان می‌دهند که نقش فرایند تفریق ماگمایی در تکوین و تحول سنگ‌های مورد نظر را تأیید می‌کند.



شکل ۸. موقعیت نمونه‌های سنگی آذرین درونی ژوراسیک میانی مجموعه ماجراد در نمودارهای الف-عناصر کمیاب خاکی به‌هنگار شده به کندریت [۳۵]، ب- نمودار چند عنصری یا عنکبوتی به‌هنگار شده به گوشته اولیه [۳۶] علائم بکار رفته در رسم نمودارها همانند شکل ۵ می‌باشد.

جدول ۱. نتایج تجزیه شیمیایی سنگ کل سنگ‌های آذرین درونی ژوراسیک میانی مجموعه ماجراد به روش XRF و ICP-MS

Sample	KM320	KM150	KM391	KM235	KM337	KM345	km350	km166	km242	km239	km110	km310	km108	km174	km303	KM152	KM132	km136	km302
SiO <sub>2</sub>	48/32	50/88	49/86	52/30	48/71	49/27	47/68	47/89	50/29	50/35	50/53	51/64	52/75	56/62	57/57	52/69	51/46	50/32	74/21
TiO <sub>2</sub>	2/40	1/04	1/17	1/28	1/27	0/92	2/41	2/48	0/89	1/26	0/68	0/57	1/11	1/95	0/80	1/71	2/52	2/69	0/17
Al <sub>2</sub> O <sub>3</sub>	14/53	16/64	17/41	16/55	17/28	19/97	14/75	14/90	16/41	16/60	17/26	16/01	12/85	15/35	22/53	17/80	16/29	17/62	15/06
Fe <sub>2</sub> O <sub>3</sub>	14/48	8/18	9/12	8/84	9/61	7/59	14/66	13/78	8/90	9/16	8/40	7/50	8/18	11/25	3/83	8/28	12/24	10/27	1/43
MnO	0/21	0/14	0/15	0/14	0/15	0/13	0/22	0/20	0/13	0/14	0/15	0/13	0/18	0/16	0/05	0/15	0/21	0/19	0/01
MgO	5/76	8/18	8/03	6/83	8/56	7/52	5/85	6/05	8/46	7/94	8/60	8/56	8/34	2/43	0/84	4/58	3/48	3/88	0/30
CaO	10/09	11/49	10/61	9/25	11/13	11/29	10/24	10/37	11/70	10/83	10/89	12/05	13/09	4/69	6/93	7/00	7/81	9/00	2/00
Na <sub>2</sub> O	3/43	2/96	2/86	4/03	2/77	2/78	3/35	3/06	2/76	3/13	2/76	2/50	2/87	4/61	6/30	5/79	4/21	4/83	6/52
K <sub>2</sub> O	0/46	0/35	0/66	0/53	0/38	0/43	0/45	0/88	0/33	0/40	0/52	0/88	0/32	2/25	0/95	1/49	0/81	0/25	0/27
P <sub>2</sub> O <sub>5</sub>	0/32	0/14	0/13	0/26	0/14	0/08	0/30	0/31	0/08	0/14	0/08	0/04	0/21	0/64	0/21	0/52	0/96	0/97	0/03
LOI	0/58	0/66	0/84	1/60	1/26	2/04	0/7	1/4	1/6	2/2	1/7	1/7	1/6	2/4	0/6	4/10	0/74	1/5	0/3
Total	99/13	98/01	90/31	99/26	98/48	98/99	99/75	99/75	99/78	99/77	99/77	99/78	99/76	99/84	99/9	99/61	98/92	99/77	99/94
Be	0/819	0/639	0/575	1/11	0/425	0/338	1	1	<1	2	<1	<1	2	2	1	1/85	1/19	2	1
Sc	44/4	39/4	32/3	30/3	33/2	23/9	39	42	35	34	28	39	51	16	5	25/3	25/5	25	1
V	370	171	186	191	204	135	350	363	182	200	132	159	205	89	21	183	145	179	17
Cr	171	427	246	205	244	232	-	-	-	-	-	-	-	-	-	128	12/3	-	100/3
Co	45/9	40	42/8	35/4	47	36/2	38	36	39/5	36/2	34/8	32/4	28/5	11/7	5/7	24/5	22/6	25/5	10/4
Ni	51/1	67/8	98/4	77/3	95/5	112	54	50	83	64	113	68	48	<20	<20	42/1	9	<20	<20
Ga	21	15/5	16/8	17/7	15/8	15/2	18/2	20/3	13/8	15/2	12/4	11/8	11/9	21/4	22/3	18/2	23	18/9	13/7
Rb	8/63	7/31	17/3	9/6	7/04	11/3	7/8	21/3	6	8/1	15/8	27/7	8/7	53	23/4	36/6	17/6	2/3	7/7
Sr	229	363	211	304	216	245	244/3	261/5	269/1	271/5	278/9	279/6	229/8	200/4	491/6	255	345	435/1	324
Y	40/2	20/9	26/4	28/5	24/8	19/6	37/6	38/5	17/8	23/9	14/1	13/3	29/4	58/8	14/2	25/8	56/9	62/2	6
Sb	1/34	0/649	2/58	0/855	0/553	0/4	39	42	35	34	28	39	51	16	5	1/07	0/21	25	1
Cs	0/591	4/43	0/973	0/162	3/65	0/769	0/3	0/7	0/1	0/2	4/3	0/6	0/4	0/3	0/6	4/79	0/41	<0/1	1
Ba	93/5	157	110	139	75/5	85/7	81	124	95	82	185	245	197	647	469	298	320	121	124

ample	KM320	KM150	KM391	KM235	KM337	KM345	km350	km166	km242	km239	km110	km310	km108	km174	km303	KM152	KM132	km136	km302
La	12/6	14/1	11/6	24/7	7/79	6/33	11/4	11/8	6/6	9/8	7/3	4/6	14/5	48/1	20/8	43/4	44/7	48/5	12/4
Ce	29/4	28/2	23/8	46/9	18/3	15	28/2	29/3	15/1	22/9	14/5	10/9	32/3	96	37/5	76/7	91/8	106/6	20/7
Pr	4/33	3/64	3/21	5/71	2/56	2/27	4/04	4/15	1/97	2/95	1/92	1/45	4/07	11/09	4/03	8/72	12/3	13/1	1/93
Nd	21/8	15/6	14/7	23/1	13	11/1	19/4	19/7	9/2	13/1	8/3	6/2	17/6	43/9	14/5	34/7	53/4	55/3	5/9
Sm	5/85	3/58	3/76	4/96	3/5	3/03	5/17	5/48	2/51	3/35	2/04	1/79	4/41	9/65	2/77	6/36	11/7	11/98	1/05
Eu	2/08	1/22	1/21	1/47	1/23	1/02	1/95	2/07	0/97	1/2	0/84	0/69	1/41	2/68	2/35	1/82	3/05	3/26	0/83
Gd	5/46	3/27	3/51	4/76	3/25	2/6	6/07	6/47	3/05	4/01	2/43	2/12	5/13	9/58	2/72	5/84	10/4	12/02	0/88
Tb	1/22	0/651	0/769	0/946	0/744	0/61	1/02	1/12	0/53	0/67	0/4	0/37	0/84	1/63	0/41	1/01	1/99	1/87	0/16
Dy	7/13	3/72	4/54	5/31	4/42	3/56	6/59	7/26	3/39	4/36	2/5	2/48	5/36	10/34	2/52	5/19	10/6	11/29	0/89
Ho	1/55	0/788	1/01	1/11	0/966	0/844	1/35	1/43	0/67	0/9	0/53	0/49	1/09	2/13	0/47	0/984	2/16	2/32	0/19
Er	4/06	2/1	2/74	3	2/63	2/23	3/94	4/15	2/05	2/64	1/5	1/39	3/24	6/12	1/39	2/59	5/77	6/31	0/66
Tm	0/651	0/346	0/454	0/492	0/434	0/37	0/52	0/57	0/27	0/36	0/2	0/2	0/42	0/86	0/2	0/38	0/87	0/84	0/1
Yb	4/13	2/17	2/91	3/12	2/78	2/29	3/3	3/67	1/72	2/24	1/28	1/21	2/67	5/6	1/11	2/32	5/38	5/22	0/63
Lu	0/564	0/299	0/413	0/434	0/383	0/329	0/52	0/57	0/25	0/34	0/18	0/18	0/38	0/85	0/18	0/29	0/75	0/73	0/1
W	0/665	0/54	0/355	0/795	0/327	0/262	0/5	<0/5	<0/5	0/6	<0/5	0/8	<0/5	1/2	<0/5	0/80	0/60	0/6	<0/5
Tl	0/061	0/038	0/11	0/043	0/063	0/062	0/4	0/5	0/3	0/4	0/2	0/1	0/3	1/5	0/6	0/27	0/09	1/8	0/2
Pb	7/63	4/71	4/79	7/12	6/09	3/14	-	-	-	-	-	-	-	-	-	4/87	5/76	-	-
Bi	0/101	0/083	0/028	0/071	0/022	0/028	0/4	0/5	0/3	0/4	0/2	0/1	0/3	1/5	0/6	0/01	0/061	1/8	0/2
Th	0/821	1/8	1/87	4/75	1/13	1/25	1	1/1	1/2	3/1	1/2	1	3/4	11/5	3/3	6/83	3/2	4/8	12/7
U	0/209	0/49	0/51	1/16	0/392	0/444	0/2	0/3	0/3	0/7	0/3	0/3	0/7	1/8	0/6	1/53	0/99	1/3	1/7
Nb	7/29	10/6	6/63	14/4	5/54	3/59	6	6/5	3/3	5/6	3	1/8	6/7	26/5	8/9	40/4	35/7	38/8	2/2
Ta	0/486	0/617	0/438	0/865	0/379	0/27	0/4	0/5	0/3	0/4	0/2	0/1	0/3	1/5	0/6	2/5	1/93	1/8	0/2
Zr	60	45/8	80/8	41/3	57/8	47/1	163/3	170/7	73/4	130/5	61/6	44/4	137/4	295/3	101	87/2	18/3	216	125/5
ZY	100/2	66/7	107/2	69/8	82/6	66/7	200/9	209/2	91/2	154/4	75/7	57/7	166/8	354/1	115/2	113	75/2	278/2	131/5
Hf	2/29	1/64	2/77	1/79	2/26	1/84	4	4/3	2	3/1	1/5	1/2	3/5	7/2	2/3	2/56	1/05	4/7	3/8

زیرکن یک کانی فرعی غنی از اورانیوم است که در طیف وسیعی از سنگ‌ها وجود دارد و به‌عنوان بهترین

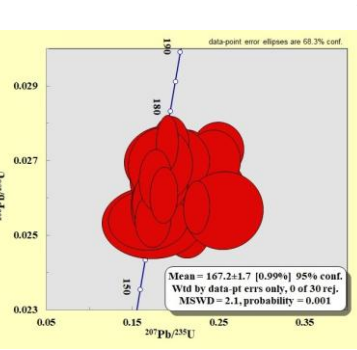
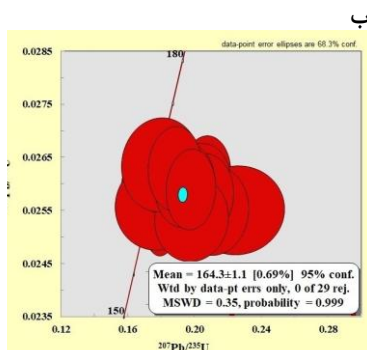
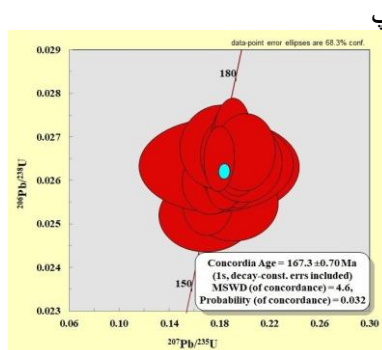
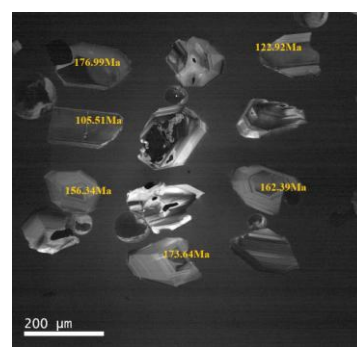
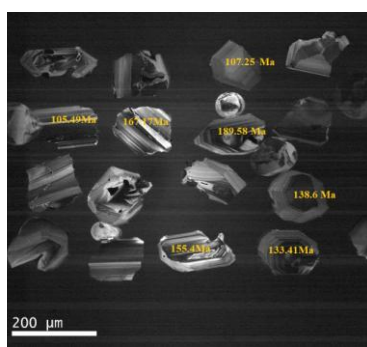
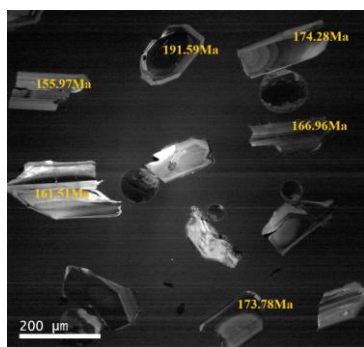
ژئوکرونومتر در سن‌سنجی‌های ایزوتوپی استفاده می‌شود. تکنیک‌های سن‌سنجی مختلف بر پایهٔ واپاشی اورانیوم به

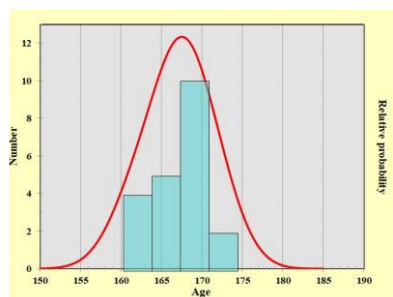
سرب در تک بلورهای زیرکن در چند دههٔ اخیر گسترش زیادی پیدا کرده‌اند. امروزه تک‌بلورهای زیرکن به‌دلیل دمای

انسداد بالا ( $900^{\circ}\text{C}$ ) بهترین ژئوکروموترها هستند و می‌توانند سن‌هایی از حوادث چندگانه زمین‌شناسی را نشان دهند. از میان روش‌های تعیین سن در چند دهه اخیر، روش‌های استفاده از ریزپرتوها<sup>۱</sup> همانند روش SIMS و LA-ICP-MS اهمیت و دقت زیادی دارند و به‌عنوان روش‌های موفق در سن‌سنجی رادیومتری به‌طور گسترده استفاده می‌شوند.

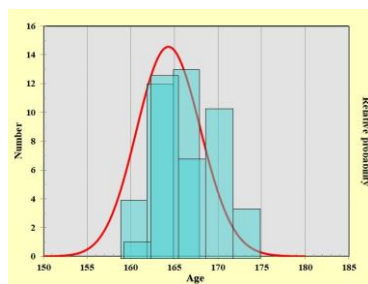
تصاویر کاتدولومینسانس زیرکن‌های جدا شده از گابرو دیوریت‌ها ماجراد (شکل ۹ آ تا پ) نشان می‌دهد که اغلب زیرکن‌ها، شکل‌دار تا نیمه‌شکل‌دار، شفاف و دارای اشکال منشوری کوتاه تا طویل (حداکثر ۲۵۰ میکرون) هستند. برخی از آن‌ها منطقه‌بندی ترکیبی نشان می‌دهند. نتایج تجزیه نقطه‌ای و تعیین نسبت‌های ایزوتوپی زیرکن‌های ۳ نمونه از گابرو دیوریت‌ها در جدول ۲ ارائه شده است و در ترسیم نمودارهای سازگاری از آن‌ها استفاده شده است. بر اساس نتایج سن‌سنجی انجام شده، برای گابرو دیوریت‌ها ماجراد سن‌های  $167.3 \pm 1.7$  و  $164.3 \pm 1.1$ ،  $167.3 \pm 0.7$ ،  $164.3 \pm 1.1$  و  $167.3 \pm 1.7$  میلیون سال به‌دست آمده است که با ژورسپیک میانی (آشکوب‌های آلن تا باتونین) معادل است (شکل ۸ ت تا ج). این نتایج، اولین گزارش از تعیین سن این سنگ‌ها به‌روش U-Pb روی زیرکن‌های جدا شده از گابرو دیوریت‌های موجود در مجموعه پی‌سنگی ماجراد در جنوب شرق شاهرود است و مستندات زمین‌شناسی ناحیه‌ای و چینه‌شناسی منطقه نیز صحت نتایج به‌دست آمده را تأیید می‌کند [۳]، [۴]، [۵]، [۶]، [۴۲].

برای گابرو دیوریت‌های مشابهی که در منطقه کلاته (شمال‌خور یا شرق جندق)، مجموعه پی‌سنگی دگرگونی-آذرین جندق (به سن نئوپروتروزوئیک پایانی) را قطع کرده‌اند، بر اساس سن‌سنجی به‌روش U-Pb روی زیرکن، سن‌های ۲۱۲ تا ۲۲۲ میلیون سال پیش (تریاس بالایی معادل آشکوب کارنین-نورین) گزارش شده است [۴۳]. این امر نشان می‌دهد که ماگماتیسزم بازیک-حدواسط تریاس-ژوراسیک به‌سمت شمال جوان‌شدگی نشان می‌دهد.

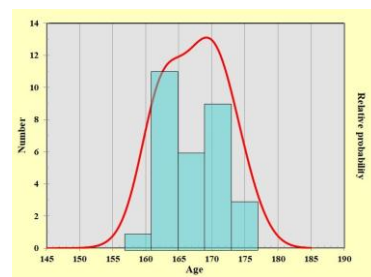




ح



چ



ج

شکل ۹. آ تا پ) تصاویر کاتادلومینسانس زیرکن‌های استخراج شده از گابرو دیوریت‌های ماجراد برای تعیین سن، ت تاج) نمودارهای سازگاری مبتنی بر نتایج سن‌سنجی به روش U-Pb روی زیرکن‌های گابرو دیوریت‌ها، چ تاج) هیستوگرام تغییرات سنی به دست آمده از داده‌های سن‌سنجی

## جدول ۲. نتایج تجزیه ایزوتوپی و سن‌سنجی U-Pb به روش LA-ICPMS

روی زیرکن‌های نمونه‌های گابرو دیوریتی مجموعه ماجراد

Sample spots	$\frac{^{207}\text{Pb}}{^{206}\text{Pb}} \pm \sigma \%$	$\frac{^{207}\text{Pb}}{^{235}\text{U}} \pm \sigma \%$	$\frac{^{206}\text{Pb}}{^{238}\text{U}} \pm \sigma \%$	$\frac{^{208}\text{Pb}}{^{232}\text{Th}} \pm \sigma \%$	$\frac{^{207}\text{Pb}}{^{206}\text{Pb}} \pm \sigma \%$	$\frac{^{207}\text{Pb} \pm \sigma}{^{235}\text{U} \%}$	$\frac{^{206}\text{Pb} \pm \sigma}{^{238}\text{U} \%}$	$\frac{^{208}\text{Pb} \pm \sigma}{^{232}\text{Th} \%}$	$^{232}\text{Th}$	$^{238}\text{U}$	Th/U
KM108-01	0/06702 0/00552	0/2505 0/01979	0/02731 0/00049	0/00879 0/00026	838/3 162/65	227 16/07	173/7 3/07	176/9 5/23	250/44	336/22	0/744869
KM108-02	0/06406 0/00327	0/22302 0/01032	0/02541 0/00041	0/00834 0/00016	743/5 104/42	204/4 8/57	161/7 2/57	167/8 3/22	858/58	836/77	1/026065
KM108-03	0/06879 0/00624	0/24836 0/02182	0/02632 0/00048	0/00897 0/00026	892/4 176/99	225/2 17/75	167/5 3/05	180/6 5/21	253/35	291/72	0/86847
KM108-04	0/06027 0/00304	0/20971 0/00964	0/02534 0/00041	0/00823 0/00016	613/3 105/51	193/3 8/09	161/3 2/59	165/6 3/17	1156/22	1019/28	1/13435
KM108-05	0/06732 0/00414	0/23715 0/01368	0/02563 0/00044	0/01018 0/00023	847/7 122/92	216/1 11/23	163/1 2/79	204/7 4/5	565/12	597/79	0/945349
KM108-06	0/04933 0/00243	0/18167 0/00816	0/02677 0/00042	0/00787 0/00015	163/6 111/09	169/5 7/01	170/3 2/66	158/4 2/95	1389/44	1423/67	0/975957
KM108-07	0/05809 0/00434	0/21681 0/01556	0/02709 0/00049	0/00878 0/00027	532/6 156/34	199/2 12/98	172/3 3/08	176/7 5/38	300/22	462/84	0/648647
KM108-08	0/06015 0/00288	0/22253 0/00972	0/02683 0/00045	0/00842 0/00018	609 100/35	204 8/07	170/7 2/82	169/5 3/51	2158/18	2086/87	1/034171
KM108-09	0/05807 0/00337	0/21387 0/01171	0/02669 0/00045	0/00611 0/00025	532/1 122/89	196/8 9/8	169/8 2/81	123/2 5/02	362/81	647/25	0/560541
KM108-10	0/06225 0/00504	0/21612 0/01691	0/02515 0/00047	0/00846 0/00024	682/9 164/04	198/7 14/12	160/1 2/98	170/2 4/86	367/96	427/24	0/861249
KM108-11	0/0495 0/00497	0/17497 0/01723	0/0256 0/00047	0/00784 0/00022	171/4 219/05	163/7 14/89	162/9 2/93	157/8 4/39	437/79	470/73	0/930024
KM108-12	0/06622 0/00324	0/24683 0/01111	0/02698 0/00047	0/00944 0/0002	813/4 98/99	224 9/05	171/6 2/93	190 3/96	2149/11	1838/63	1/168865
KM108-13	0/05304 0/00304	0/19351 0/01053	0/02638 0/00045	0/00877 0/00021	330/4 124/56	179/6 8/96	167/8 2/81	176/5 4/14	506/54	702/18	0/721382
KM108-14	0/06562 0/00575	0/24513 0/02087	0/027 0/00055	0/00891 0/00035	794/2 173/64	222/6 17/02	171/8 3/47	179/3 7/04	209/97	358/38	0/585886
KM108-15	0/05009 0/01099	0/17593 0/03837	0/02538 0/00063	0/00909 0/00073	199/2 443/02	164/6 33/13	161/6 3/97	182/8 14/66	59/54	142/67	0/417327
KM108-16	0/04854 0/00865	0/17089 0/03024	0/02544 0/00052	0/00776 0/00053	125/9 372/47	160/2 26/22	161/9 3/29	156/3 10/72	124/93	262/94	0/475127
KM108-17	0/05155 0/00875	0/19257 0/03239	0/02699 0/00064	0/0096 0/0006	265/6 348/88	178/8 27/57	171/7 4/05	193 12/04	75/92	153/9	0/493307

KM108-18	0/05111	0/00539	0/18697	0/01941	0/02643	0/00052	0/00808	0/00027	245/9	225/66	174	16/6	168/2	3/25	162/6	5/35	243/74	288/39	0/845175
KM108-20	0/05166	0/00386	0/19603	0/01422	0/02742	0/00051	0/00897	0/00025	270/6	162/39	181/8	12/07	174/4	3/2	180/5	4/96	399/58	467/25	0/855174
KM108-21	0/0469	0/00415	0/17209	0/01495	0/02652	0/00048	0/00851	0/00022	43/9	199/22	161/2	12/95	168/7	2/98	171/2	4/43	439/97	490/64	0/896727
KM108-22	0/04912	0/00467	0/18121	0/01692	0/02667	0/00052	0/00891	0/00032	153/5	208/64	169/1	14/54	169/7	3/28	179/3	6/46	219/16	370/1	0/592164
KM108-23	0/07247	0/00864	0/25757	0/03004	0/0257	0/00068	0/0102	0/00045	999/3	224/91	232/7	24/25	163/6	4/29	205/1	9/02	249/25	278/39	0/895327
KM108-24	0/0467	0/00305	0/16688	0/0105	0/02585	0/00049	0/00804	0/00021	33/8	149/42	156/7	9/14	164/5	3/08	161/9	4/27	846/06	886/23	0/954673
KM108-25	0/06359	0/003	0/22636	0/01005	0/02578	0/00047	0/00937	0/00021	728/1	96/93	207/2	8/32	164/1	2/97	188/5	4/22	2252/65	1544/67	1/458337
KM108-26	0/04984	0/00666	0/18503	0/02439	0/0269	0/00066	0/0088	0/00038	187/4	283/79	172/4	20/89	171/1	4/16	177	7/52	225/39	227/59	0/990333
KM108-27	0/04878	0/00414	0/17436	0/01449	0/02591	0/00053	0/0081	0/00026	137/2	188/27	163/2	12/53	164/9	3/34	163	5/23	337/14	374/15	0/901082
KM108-28	0/05023	0/00395	0/17632	0/01359	0/02546	0/00048	0/00786	0/00022	205/8	172/86	164/9	11/73	162/1	2/99	158/3	4/33	446	425/42	1/048376
KM108-29	0/05083	0/00235	0/19248	0/00842	0/02748	0/00049	0/01018	0/00021	233/3	103/28	178/7	7/17	174/8	3/1	204/8	4/15	2185/23	1679/43	1/301174
KM108-30	0/04897	0/00345	0/17884	0/01224	0/02652	0/00053	0/00839	0/00023	146/5	157/37	167/1	10/54	168/7	3/31	168/8	4/57	658/73	576/33	1/142974
KM108-31	0/05252	0/00309	0/18871	0/01071	0/02611	0/00049	0/00929	0/00029	307/9	128/48	175/5	9/15	166/1	3/11	186/9	5/87	264/22	520/74	0/507393

Sample spots	<u>207Pb</u> 206Pb	$\pm \sigma$ %	<u>207Pb</u> 235U	$\pm \sigma$ %	<u>206Pb</u> 238U	$\pm \sigma$ %	<u>208Pb</u> 232Th	$\pm \sigma$ %	<u>207Pb</u> 206Pb	$\pm \sigma$ %	<u>207Pb</u> $\pm \sigma$ 235U %	<u>206Pb</u> $\pm \sigma$ 238U %	<u>208Pb</u> $\pm \sigma$ 232Th %	232Th	238U	Th/U
KM235-01	0/0576	0/0028	0/2075 6	0/009610/026210/00047	0/00870/00019	514/3	103/75	191/5	8/08	166/82/98	1753/79	618/9	650	0/95215 4		
KM235-02	0/0571	0/0023 8	0/20390/007970/025960/000460/008910/00018	495	89/75	188/4	6/72	165/22/87	179/43/54	1070/8 8	1071/92	0/99903				
KM235-03	0/05798	0/0034 2	0/2047 9	0/011670/025670/000490/008210/00023	528/7	124/81	189/2	9/83	163/43/05	165/24/67	312/9	487/87	0/64135 9			
KM235-04	0/06428	0/0054 4	0/2258 3	0/018640/025530/000550/008970/00028	751	169/17	206/815/44	162/53/48	180/55/71	278/33	303/55	0/91691 6				
KM235-05	0/0571	0/0034 7	0/2045 4	0/011990/02602	0/00050/008290/00025	495	128/99	18910/11	165/63/15	166/94/96	301/9	487/73	0/61899			
KM235-06	0/05184	0/0020 8	0/1809 9	0/006810/025360/000450/008080/00015	278/6	89/07	168/9	5/85	161/4	2/8	162/63/08	1317/3	1165/74	1/13001 2		
KM235-07	0/05464	0/0027 5	0/1935 5	0/009320/025720/000480/008760/00018	397/5	108/49	179/7	7/92	163/72/99	176/33/66	1012/4 7	859/89	1/17744 1			
KM235-08	0/04958	0/0037 4	0/1775 4	0/013150/025990/000490/00896	0/0002	175/3	167/17	165/911/34	165/43/05	180/44/05	517/66	531/89	0/97324 6			
KM235-10	0/0568	0/0027 5	0/2018 4	0/009370/025780/00047	0/0091	0/0002	483/1	104/27	186/7	7/91	164/12/96	1833/96	581/75	716/43 2		
KM235-11	0/05086	0/0024 4	0/1824 5	0/008370/026020/000490/008450/00017	234/6	107/25	170/2	7/19	165/63/06	170/2	3/4	1653/3 5	1117/24	1/47985 2		
KM235-12	0/05752	0/0022 3	0/2014 9	0/00734	0/02540/000460/008770/00016	511/3	83/22	186/4	6/2	161/72/87	176/53/28	1992/5 8	1473/21	1/35254 3		
KM235-13	0/05303	0/0034 2	0/1869 2	0/011690/025540/000490/008380/00025	330/2	138/6	174	10	162/63/07	168/74/94	234/33	456/39	0/51344 2			
KM235-14	0/05303	0/0026 2	0/1919 1	0/009090/026220/000490/008270/00018	330/1	107/91	178/3	7/74	166/93/09	166/53/56	1039/8 6	1017/87	1/02160 4			
KM235-04943	0/04943	0/0032	0/17710/011240/025970/000520/008340/00021	168/2	145/63	165/6	9/69	165/33/27	167/84/18	612/52	635/04	0/96453				

Sample spots	$\frac{^{207}\text{Pb}}{^{206}\text{Pb}}$	$\pm \sigma$ %	$\frac{^{207}\text{Pb}}{^{235}\text{U}}$	$\pm \sigma$ %	$\frac{^{206}\text{Pb}}{^{238}\text{U}}$	$\pm \sigma$ %	$\frac{^{208}\text{Pb}}{^{232}\text{Th}}$	$\pm \sigma$ %	$\frac{^{207}\text{Pb}}{^{206}\text{Pb}}$	$\pm \sigma$ %	$\frac{^{207}\text{Pb}}{^{235}\text{U}}$	$\pm \sigma$ %	$\frac{^{206}\text{Pb}}{^{238}\text{U}}$	$\pm \sigma$ %	$\frac{^{208}\text{Pb}}{^{232}\text{Th}}$	$\pm \sigma$ %	232Th	238U	Th/U
KM310-01	0/0479 7	0/00154	0/1940 9	0/00544	0/0294 6	0/0004 7	0/0090 6	0/0001 7	96/8	75/3	180/1	4/62	187/2	2/92	182/2	3/31	3145/77	3851/0 6	0/816858
KM310-02	0/0604	0/01028	0/2158 9	0/03636	0/0260 2	0/0006 6	0/0082 4	0/0004 3	617/8	330/15	198/5	30/36	165/6	4/14	165/8	8/53	235/59	234/9	1/002937
KM310-03	0/0466 3	0/00312	0/1688 6	0/01093	0/0263 6	0/0004 6	0/0083 2	0/0002	30/2	153/05	158/4	9/49	167/7	2/88	167/4	4/02	425/15	496/07	0/857036
KM310-04	0/0495 8	0/00468	0/1725 2	0/016	0/0253 2	0/0004 7	0/0082 5	0/0002 2	175/2	206/44	161/6	13/85	161/2	2/97	166/2	4/42	317/79	322/06	0/986742
KM310-05	0/0525 4	0/01	0/1901	0/03586	0/0263 1	0/0006 9	0/0095 8	0/0006 6	309/1	383/5	176/7	30/59	167/4	4/33	192/7	13/23	69/68	129/32	0/538818
KM310-06	0/0493 2	0/00731	0/1712 5	0/02513	0/0252 5	0/0005 6	0/0081 3	0/0004 5	163/3	313/45	160/5	21/79	160/7	3/55	163/7	9/07	101/71	198/72	0/511826
KM310-07	0/0551	0/00659	0/1931 1	0/02278	0/0254 8	0/0005 5	0/0078 5	0/0002 7	416	247/36	179/3	19/39	162/2	3/43	158	5/36	238/38	220/47	1/081236
KM310-08	0/0489 9	0/00381	0/1719 6	0/01303	0/0255 1	0/0004 8	0/0076 2	0/0001 9	147/4	172/8	161/1	11/29	162/4	3/01	153/4	3/75	568/42	455/92	1/246754
KM310-9	0/0579 2	0/00297	0/2063	0/01003	0/0258 8	0/0004 6	0/0138 2	0/0004 4	526/4	108/97	190/4	8/44	164/7	2/88	277/5	8/86	167/32	716/5	0/233524
KM310-10	0/0492	0/01116	0/1786 8	0/0403	0/0263 7	0/0007	0/0082 9	0/0005 4	157/6	459/17	166/9	34/71	167/8	4/4	166/8	10/76	101/11	153/42	0/659041
KM310-	0/0507	0/00373	0/1817	0/01302	0/0260	0/0004	0/0082	0/0002	227/4	161/51	169/5	11/19	165/6	3/01	166/7	3/97	446/09	416/06	1/072177

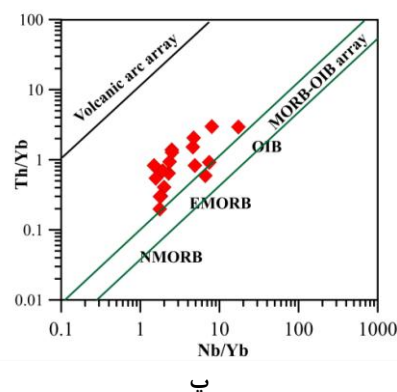
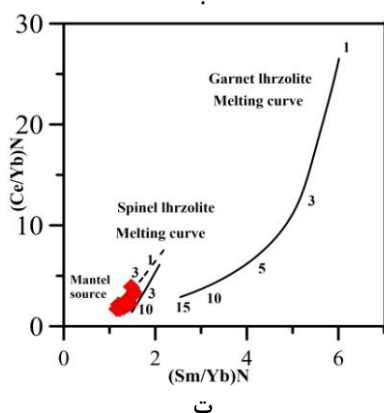
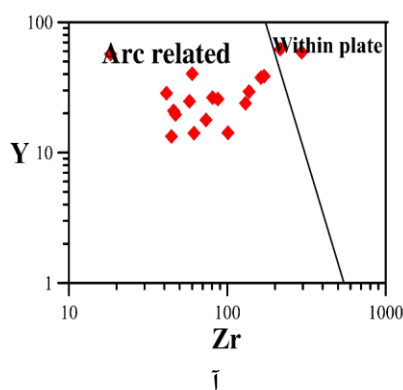
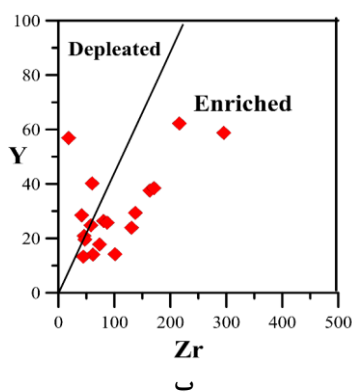
[illegible]

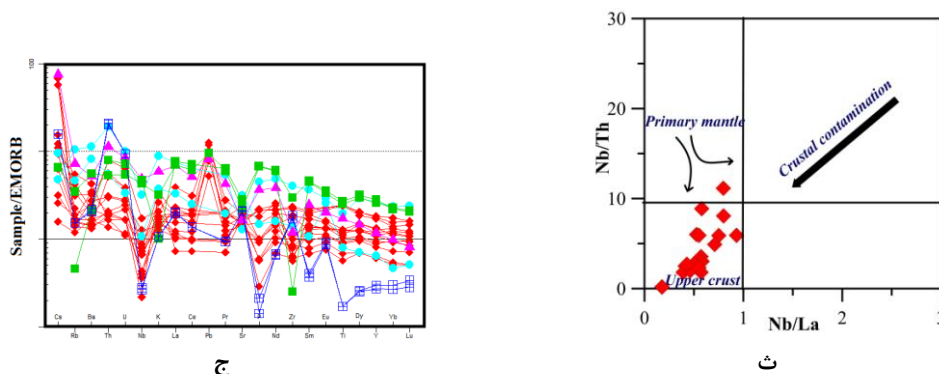
با استفاده از ژئوشیمی عناصر فرعی و کمیاب خاکی می‌توان درجهٔ ذوب‌بخشی محل منشأ و عمق خاستگاه گواشته‌ای تولید ماگمای اولیه را تعیین کرد [۴۰]، [۴۴]. بر اساس نمودار Y در مقابل Zr مولر و گروس و سان و مک-دونوف [۴۵]، [۳۶]، نمونه‌های گابرویدوریتی ماجراد به‌ترتیب در محدودهٔ سنگ‌های آذرین وابسته به محیط‌های کمان و عمدتاً سرچشمه گرفته از یک منشأ گواشته‌ای غنی‌شده قرار گرفته‌اند (شکل ۱۰ آ و ب). نشأت گرفتن مذاب‌های سازنده این سنگ‌ها از ماگماهای غنی‌شده سرچشمه گرفته از گواشته متاسوماتیسم‌شده، به‌وسیلهٔ این ویژگی‌ها تأیید می‌شود: ۱. ترکیب کانی‌شناسی این سنگ‌ها (یعنی وجود کانی‌های سیلیکاته آهن و منیزیم‌دار که در عین حال از

کلسیم و آب (نظیر اوژیت و هورنبلند سبز) و پتاسیم و آب (مثل بیوتیت) غنی هستند)، ۲. حضور کانی‌های غنی از عناصر HSFs (نظیر Ti, Zr, U, Th, Hf, P) مانند زیرکن، آپاتیت و اسفن.

بر اساس نمودار (Ce/Yb)N در مقابل (Sm/Yb)N کرینیتز و همکاران [۴۶] نمونه‌های گابرویدیوریتی ماجراد از ذوب‌بخشی ۵ تا ۱۰ درصدی یک منشأ اسپینل لرزولیتی سرچشمه گرفته‌اند که موارد یاد شده را تأیید می‌کند (شکل ۱۰ پ). در نمودار پیرس [۴۷] نمونه‌های بررسی شده در محدوده EMORB قرار گرفته‌اند (شکل ۸ ت). در مجموع می‌توان چنین استنباط کرد که ماگمای گابرویدیوریت‌های ماجراد از یک منبع گوشته‌ای با ترکیب مشابه با گوشته محل منبع بازالت‌های پشته‌های میان‌اقیانوسی غنی شده (EMORB) و گوشته محل منبع یا منشأ ماگماهای سازنده بازالت‌های جزایر اقیانوسی (OIB) نشأت گرفته است و در حین صعود به سمت بالا دچار آلودگی پوسته بالایی شده‌اند [۴۸] (شکل ۱۰ ث).

با توجه به موقعیت زمین‌ساختی پهنه‌ساختاری ایران مرکزی در دوره‌های زمانی تریاس-ژوراسیک و با یقین بر این موضوع که ماگماتیسم مورد نظر در یک محیط درون ورقه قاره‌ای انجام شده است، یک منشأ گوشته‌ای زیرقاره‌ای با ویژگی‌های ژئوشیمیایی مشابه با خاستگاه ماگمایی بازالت‌های پشته‌های میان‌اقیانوسی غنی شده و بازالت‌های جزایر اقیانوسی، محتمل‌ترین و منطقی‌ترین خاستگاه برای تولید مذاب‌هایی است که تحول و تبلور آن‌ها به تشکیل سنگ‌های بازیک تا حدواسط مورد نظر منجر شده است. ماگماهای اسیدی‌تر از تفریق پیشرفته و یا مشارکت بخش پوسته‌ای در فرایندهای ماگمایی مورد نظر به دست آمده‌اند.





شکل ۱۰. موقعیت نمونه‌های سنگی آذرین درونی ژوراسیک میانی مجموعه ماجراد در نمودارهای (آ) مولر و گروس تغییرات Y در مقابل Zr [۴۵] برای تعیین محیط تکتونو ماگمایی، (ب) سان و مک‌دونوف تغییرات Y در مقابل Zr [۳۶]، (پ) کریستیز و همکاران N(Ce/Yb) در مقابل N(Sm/Yb) [۴۶] برای تعیین درجه ذوب بخشی ناحیه منشأ، (ت) پیرس Th/Yb در مقابل Nb/Yb برای تعیین محیط تکتونو ماگمایی [۴۷]، (ث) ژو و همکاران Nb/Th در مقابل Nb/La [۴۸] برای مشخص کردن آلودگی نمونه‌های بررسی شده طی بالا آمدن. (ج) چندعنصری (عنکبوتی) به‌هنگار شده به EMORB سان و مک‌دونوف [۳۶] علائم به‌کار رفته در رسم این نمودار همانند شکل ۵ است.

### بحث و بررسی

تحولات زمین‌شناسی صورت گرفته در بخش‌های شمالی پهنه ساختاری ایران مرکزی را می‌توان به دو بخش کلی تقسیم کرد: ۱. مجموعه تحولات سنگ‌شناسی و تکتونیکی نئوپروتروزویک تا اوایل کامبرین، ۲. مجموعه تحولاتی که از اواخر تریاس شروع شده و تا اواخر میوسن ادامه پیدا کرده است.

در این مقاله بخشی از این تحولات که مربوط به اواخر تریاس تا اواخر ژوراسیک است مدنظر قرار گرفته است. با توجه به یافته‌های صحرایی و آزمایشگاهی گسترده انجام شده در سال‌های اخیر در راستای انجام رساله‌های دکتری ([۵]، [۶]، [۴۳]) و نگارنده اول مقاله) و نتایج تعیین سن‌هایی که اخیراً به‌دست آمده است می‌توان این تحولات را بدین‌شرح خلاصه کرد:

از اواخر تریاس حدود ۲۲۰ میلیون سال پیش، فعالیت‌های ماگمایی بازیک تا اسیدی به‌صورت طیفی از گابرو تا گرانیت (عمدتاً گابرو دیوریتی)، مجموعه‌های پی‌سنگی چاودونی [۴۹] و جندق [۴۳] را قطع کرده‌اند. به‌سمت شمال دامنه سنی این فعالیت‌های ماگمایی به ژوراسیک میانی نیز می‌رسد. سن‌سنجی‌های انجام شده روی زیرکن‌های استخراج شده از گابرو دیوریت‌های ماجراد (۱۶۶ میلیون سال معادل ژوراسیک میانی) این موضوع را تأیید می‌کند. در منطقه جنوب و جنوب شرق شاهرود علاوه بر توده‌های نفوذی، فعالیت‌های ماگمایی به‌صورت گدازه‌های بازالتی زیردریایی و دایک‌های دیابازی تظاهر پیدا کرده‌اند که در شرق مجموعه دگرگونی-آذرین بندهزار چاه، جنوب مجموعه دگرگونی-آذرین شترکوه، مجموعه دگرگونی-آذرین رضآباد خارتوران، شمال مجموعه دگرگونی-آذرین دلبر و بخش‌های میانی مجموعه دگرگونی-آذرین ماجراد، قابل مشاهده هستند [۵۰]، [۵۱] و [۵۲]. در برخی افق‌های بازالتی، ساخت بالشی دیده می‌شود که می‌تواند بیان‌گر عمق زیاد حوضه‌های رسوبی به سن اواخر تریاس-اوایل ژوراسیک باشد. یکی از ویژگی‌های بارز توالی‌های رسوبی تریاس-ژوراسیک، وجود کنگلومرای قاعده‌ای چندزادی سرشار از قلوه‌های سنگی سرچشمه گرفته از مجموعه‌های پی‌سنگی نئوپروتروزویک است. ضخامت افق‌های کنگلومرای مورد نظر در شرق مجموعه بندهزار چاه به ۱۰۰۰ متر، در جنوب باختر میامی به ۷۰۰ متر و در منطقه

ماجراد به حدود ۵۰ تا ۱۰۰ متر می‌رسد و در غرب مجموعه دلبر و شرق مجموعه شترکوه ضخامت کم‌تری دارند [۵۳].

این توالی‌های آتشفشانی- رسوبی، در رخدادهای کوهزادی سیمین میانی در ژوراسیک میانی، دگرگون شده و به مجموعه‌ای از سنگ‌های متاپلیتی (اسلیت و فیلیت) و متابازیتی (شیست‌سبز) با درجه دگرگونی پایین تا متوسط تبدیل شده‌اند. نگاه دقیق‌تر به تحولات سنگ‌شناسی جنوب و جنوب‌شرق شاهرود نشان می‌دهد که در اواسط ژوراسیک، این فعالیت‌های ماگمایی دوباره از سر گرفته می‌شود و اغلب به صورت دایک‌های دیابازی و توده‌های نفوذی کوچک مقیاس ظاهر می‌کنند. این مجموعه فعالیت‌های ماگمایی را می‌توان به فازهای ماگمایی سیمین پیشین تا میانی نسبت داد. لازم به ذکر است، پیش از این، فعالیت‌های ماگمایی این دو فاز در شمال پهنه‌ساختاری ایران مرکزی، آن‌طور که شایسته است به خوبی شناخته و معرفی نشده‌اند. فعالیت‌های ماگمایی مشابهی در دامنه جنوبی البرز صورت گرفته است که پرداختن به آن‌ها از حوصله و مجال این مقاله خارج است و علاقمندان می‌توانند به [۷]، [۸]، [۹] و [۲] رجوع کنند.

با توجه به مجموعه بررسی‌های ژئوشیمیایی، فعالیت‌های ماگمایی اواخر تریاس- ژوراسیک میانی دارای ماهیت کالک‌آلکالن تا آلکالن ضعیف هستند. ماگماهای مورد نظر از ذوب‌بخشی ۵ تا ۱۰ درصد گوه گوشته‌ای متاسوماتیسم شده با ماهیت اسپینل لرزولیتی واقع در بالای ورقه اقیانوسی نئوتتیس فرورنده تشکیل شده است. ماگمای تشکیل شده در محیط‌های زمین‌ساخت کشتی درون قاره‌ای یا به عبارت کلی‌تر در محیط‌های زمین‌ساخت کشتی پشت کمائی خود را به ترازهای بالاتر رسانده و در پوسته میانی جای‌گزین شده است که به درون حوضه‌های رسوبی این زمان فوران یافته و یا در مواردی به صورت اجتماعات دایکی بازیک سنگ‌های قدیمی‌تر را قطع کرده است.

### نتیجه‌گیری

توده‌های آذرین کوچک مقیاس و دایک‌های دیابازی با ترکیب غالب گابرودیوریتی که در درون مجموعه دگرگونی- آذرین ماجراد (به سن نئوپروتروزوئیک پایانی) نفوذ کرده‌اند، به‌طور میانگین دارای سن ۱۶۶ میلیون سال (معادل ژوراسیک میانی- آشکوب‌های آلنین تا باتونین) هستند. لازم به ذکر است این تعیین سن به روش U-Pb روی زیرکن و برای اولین بار روی این سنگ‌ها انجام شده است. در این توده‌های نفوذی، شواهدی تفریق‌یافتگی از گابرو تا تونالیت مشاهده می‌شود. بر پایه داده‌های ژئوشیمیایی، ماگمای سازنده این سنگ‌ها دارای ماهیت کالک‌آلکالن است، از عناصر سنگ‌دوست بزرگیون (LILEs) و عناصر خاکی‌نادر سبک (LREEs) غنی‌شدگی و از عناصر با قدرت میدانی زیاد (HFSEs) و عناصر خاکی‌نادر سنگین (HREEs) تهی‌شدگی نشان می‌دهد. ماگمای سازنده گابرودیوریت‌های ماجراد، از منبع گوشته‌ای زیر قاره‌ای متاسوماتیسم شده با ماهیت اولیه اسپینل‌لرزولیتی نشأت گرفته است. این فعالیت‌های ماگمایی، شواهدی بر عملکرد ماگماتیسیم سیمین میانی، در لبه شمالی پهنه ساختاری ایران مرکزی و در محیط‌های کشتی درون قاره‌ای (پشت کمائی) محسوب می‌شوند.

### منابع

- Berberian M. and King G. C. P., "Toward a paleogeography and tectonic evaluation of Iran. Canadian journal of Earth Science 5 (1981) 101-117.

۲. قاسمی ح، رستمی حصوری م، صادقان م، "ماگماتیسزم بازی در حوضه کششی پشت‌کمانی ژوراسیک زیرین- میانی در لبه- شمالی پهنه‌های ایران مرکزی- جنوب البرز شرقی"، شاهرود - دامغان. فصلنامه علوم زمین، سازمان زمین‌شناسی و اکتشافات معدنی ایران، در دست چاپ.
۳. اصغرزاده ز، زمین‌شناسی، "ژئوشیمی و پترولوژی دایک‌های دیابازی موجود در منطقه دلبر"، پایان‌نامه کارشناسی ارشد، دانشکده علوم زمین، دانشگاه صنعتی شاهرود (۱۳۹۲).
۴. ابتهاج م، زمین‌شناسی، "ژئوشیمی و پترولوژی دایک‌های دیابازی موجود در منطقه بند هزارچاه"، پایان‌نامه کارشناسی ارشد، دانشکده علوم زمین، دانشگاه صنعتی شاهرود (۱۳۹۳).
۵. بلاخی اینالو ز، "پترولوژی و ژئوشیمی مجموعه دگرگونی- آذرین دلبر، بیارجمند (جنوب شرق شاهرود)"، رساله دکتری، دانشکده علوم زمین، دانشگاه صنعتی شاهرود (۱۳۹۳).
۶. حسینی س. ح، پترولوژی، "ژئوشیمی و ژئوکرونولوژی توده گرانیتوئیدی بند هزارچاه بیارجمند (جنوب خاور شاهرود)"، رساله دکتری، دانشکده علوم زمین، دانشگاه صنعتی شاهرود (۱۳۹۴).
۷. مقدسی ص، پترولوژی، "پتروژنز و جای‌گاه چینه‌نگاری سنگ‌های آتشفشانی ژوراسیک در زون البرز شرقی"، پایان‌نامه کارشناسی ارشد پترولوژی، دانشکده علوم زمین، دانشگاه صنعتی شاهرود (۱۳۸۲).
۸. جمشیدی خ، "مطالعه ماگماتیسزم مافیک قاعده سازند شمشک در زون البرز شرقی"، پایان‌نامه کارشناسی ارشد، دانشکده علوم زمین، دانشگاه صنعتی شاهرود (۱۳۸۹).
۹. قاسمی ح، جمشیدی خ، "ژئوشیمی، سنگ‌شناسی و الگوی تکتونوماگمایی پیشنهادی برای تشکیل سنگ‌های بازی قلیایی در قاعده سازند شمشک"، زون البرز. مجله بلورشناسی و کانی‌شناسی ایران، سال نوزدهم، شماره ۴ (۱۳۹۰) ۷۱۴-۶۹۹.
10. Shahbazi H., Siebel W. M., Pourmoafaei Ghorbani M., Sepahi A. A., Shang C. K., Vousoughi Abedini M., "Geochemistry and U-Pb zircon geochronology of the Alvand plutonic complex in Sanandaj-Sirjan Zone (Iran): New evidence for Jurassic magmatism", *Journal of Asian Earth Science*, 39 (2010) 668-683.
11. Fazlnia A., Schenk V., Van der Straaten F., Mirmohammadi M., "Petrology, geochemistry, geochronology of trondhjemites from the Qori Complex, Neyriz, Iran". *Lithos* 112 (2009) 413-433.
12. Chiu H. Y., Chung S. L., Zarrinkoub M. H., Mohammadi S. S., Khatib M. M., Iizuka Y., "Zircon U- Pb age constraints from Iran on the magmatic evolution related to Neotethyan subduction and Zagros orogeny", *Lithos* 162-163 (2013) 70-87.
13. Esna-Ashari A., Tiepolo M., Valizadeh M., Hassanzadeh J., Sepahi A., "Geochemistry and zircon U-Pb geochronology of Aligoodarz granitoid complex, Sanandaj-Sirjan zone, Iran", *Journal of Asian Earth Sciences* 43 (2012) 11-22.
14. Emami S. N., Eliasi Z., "the study of parental rock of Jurassic dolerites of volcano-sedimentary belt in north of Shareko", *Petrology* 5 (2014) 21-36.
15. Ahadnejad V., Valizadeh M. V., Deevsalar R., Rezaei-Kakhkhaei M., "Age and geotectonic position of the Malayer granitoids: Implication for plutonism in the Sanandaj-Sirjan Zone, W Iran", *Neues Jahrbuch für Geologie und Paläontologie-Abhandlungen*, 261 (2011) 61-75.

16. Mahmoudi S., Corfu F., Masoudi F., Mehrabi B., Mohajjel M., "U-Pb dating and emplacement history of granitoid plutons in the northern Sanandaj-Sirjan zone, Iran", *Journal of Asian Earth Science* 41 (2011) 238-249.
17. Rosseti F., Nasrabad M., Gianluca V., Thomas T., Axel G., Mohammad H., Hosein M., "Early Cretaceous migmatitic mafic granulites from the Sabzevar range (NE Iran): implications for the closure of the Mesozoic peri-Tethyan oceans in central Iran". *Terra Nova* 22 (2010) 26-34
18. Noghreyan M. K., "Evolution géochimique, minéralogique et structurale d'une edifice ophiolitique singulier: le massif de Sabzevar (partie central), NE de Iran", PhD theses, University de Nancy, France (1982).
19. Alavi-Tehrani N, "Geology and petrography in the ophiolite range NW of Sabzevar (Khorasan/Iran) ", PhD thesis, The University of Saarbrücken, German (1976).
20. Bauman A., Spies O., Lensch G, "Strontium isotopic composition of post-ophiolitic tertiary volcanics between kashmar, sabzevar and Quchan NE Iran Geodynamic project (geotraverse) in Iran", Final report, Geology Survey of Iran, Report No. 51 (1983).
21. Spies O., Lensch G., Mihm A., "Geochemistry of the post- ophiolitic tertiary volcanics between Sabzevar and Quchan (NW Iran). Geodynamic project (Geotraverse) in Iran", GSI, Rep No, 51 (1983).
22. Lindenberg H. G., Gorler K., Ibbeken H., "Stratigraphy, structure and orogenic evolution of the Sabzevar zone the area of Oryan Khorasan, NE, Iran". GSI, Rep. No. 51 (1983) 120-142.
23. Alaminia Z., Karimpour M. H., Homam M., Finger F., "The magmatic record in the Arghash region (northeast Iran) and tectonic implications". *International Journal of Earth Sciences (Geologische Rundschau)* 102 (2013) 1603-1625.
24. Khalatbari M., Babaie, H., Gani M, "Geochemical evidence for Late Cretaceous marginal arc-to-backarc transition in the Sabzevar ophiolitic extrusive sequence, northeast Iran", *Journal of Asian Earth Sciences* 70–71 (2013) 209-230.
25. Nasrabad M., "Petrogenesis of hornblenditic dykes from southwest Soltan abad (NE Sabzevar) ", *Petrology* 4 (2013) 99-117 (in Persian).
26. Maghfouri S., Rastad E., Mousivand F., Lin Y., Zaw Kh., "Geology, ore facies and sulfur isotopes geochemistry of the Nuddeh Besshi-type volcanogenic massive sulfide deposit, southwest Sabzevar basin, Iran", *Journal of Asian Earth Sciences* 125 (2016) 1-21.
27. Shafaii H., Kheder M., Arai Sh., Stern R., Ghorbani Gh., Tamura A., Ottley CH. "Arc-related harzburgite–dunite–chromitite complexes in the mantle section of the Sabzevar

- ophiolite, Iran: A model for formation of podiform chromitites", *Gondwana Research*, (2015) 65–66.
۲۸. قاسمی ا.، حاجی‌حسینی ع.، "نقشه زمین‌شناسی ۱:۱۰۰۰۰۰ دره دایی"، سازمان زمین‌شناسی کشور (۱۳۸۳).
۲۹. نواب مطلق ا.، "نقشه زمین‌شناسی (مقیاس ۱:۱۰۰۰۰۰) ابریشم‌رود"، سازمان زمین‌شناسی کشور (۱۳۸۳).
۳۰. نوایی ا.، صالحی‌راد م.، مجیدی ب.، "نقشه زمین‌شناسی (مقیاس ۱:۲۵۰۰۰۰) خارتوران"، سازمان زمین‌شناسی کشور (۱۳۶۶).
31. Best G., "Igneous and metamorphic petrology" (2003) 729.
32. Middlemost, E. A. K., "Naming materials in the magma igneous rock system", *Earth sci, Rev*, 37 (1994) 215-224.
33. Peccerillo R., Taylor S. R., "Geochemistry of Eocene calc-alkaline volcanic rocks from the Kastamonu area, northern Turkey", *Contrib, Mineral, Petrol*, 58 (1976) 63-81.
34. Fenner C. N., "Incandescent tuff flows in southern Peru", *Journal of Geological society of America Bulletin*, V. 59 (1948) 879-893.
35. Boynton W.V., "Geochemistry of the rare earth elements: meteorite studies. In: Henderson, P. (Ed), *Rare Earth Element Geochemistry*", Elsevier (1984) 63-114.
36. Sun S. S., Mc Donough W., F., "Chemical and isotopic systematics of oceanic basalts: implication for mantle composition and processes. In: A. D., Saunders and M. J., Norry (Eds): *Magmatism in ocean basins*", Geological Society of London, U. K. Special Publication, 42 (1989) 313-345.
37. Rollinson H. R., "Using Geochemical Data: Evaluation, Presentation, Interpretation", John Wiley and Sons, New York (1993)
38. Hirschmann M. M., Ghiorso M. S., Wasylenski L. E., Asimow P. D., Stolper E. M., "Calculation of peridotite partial melting from thermodynamic models of minerals and melts, I Method and composition to experiments", *Journal of Petrology*, 39 (1998) 1091-1115.
39. Gill R., "Igneous rocks and processes a practical guide", Department of Earth Sciences Royal Holloway University of London, 472 (2010).
40. Zhao J. H., Zhou M. F., "Geochemistry of Neoproterozoic mafic intrusions in the Panzhihua district (Sichuan Province, SW China): Implications for subduction-related metasomatism in the upper mantle", *Precambrian Research*, 152 (2007) 27-47.
41. Kurt H., Asan K., Ruffet G., "The relationship between collision-related calcalkaline and within-plate alkaline volcanism in the Karacadağ Area (Konya- Türkiye, Central Anatolia)", *Journal of Chemie der Erde*, 68 (2008) 155-176.
۴۲. رستمی‌حصوری م.، قاسمی ح.، کاوان نانگ پ.، رضایی م.، مباشری م.، "شیمی کانی‌ها و دما فشارسنجی دسته دایک‌های دیابازی ژوراسیک غرب رضآباد (جنوب‌غربی بیارجمند)"، *مجله بلورشناسی و کانی‌شناسی ایران*، سال بیست و پنجم، شماره ۴ (۱۳۹۶) ۷۶۱-۷۷۴

۴۳. بلوچی س.، صادقیان م.، قاسمی ح.، ژای م.، چیولی ل.، یانبین ژ.، "شیمی کانی، ژئوشیمی و ژئوکرونولوژی سنگ‌های آذرین نفوذی منطقه کلاته (شمال‌باختر خور): شاهدی بر ماگماتیسم تریاس‌بالایی در پهنه ساختاری ایران مرکزی"، مجله بلورشناسی و کانی‌شناسی (در دست چاپ).
44. Wilson M., "Igneous petrogenesis a global tectonic approach", Springer, 466 (2007).
45. Muller D., Rock N., M. S., Groves D. I., "Geochemical discrimination between shoshonitic and potassic rocks, from different tectonic setting: a pilot study" Mineral. Petrol, 46 (1992) 259-289.
46. Krienitz M. S., Hasse K., Mezger K., Eckardt V., Shaikh-Mashail M. A., "Magma genesis and crustal contamination of continental intraplate lavas in northwestern Syria", Contrib Mineral Petrol, 151 (2006) 698-716.
47. Pearce J. A., "Trace element characteristics of lavas from destructive plate boundaries. In: Thorpe R.S. (ed.) Andesites: orogenic andesites and related rocks", John Wiley & Sons, Chichester (1982) 525-548.
48. Xu X., Song S., Su L., Li Z., Niu Y., Allen M. B., "The 600–580 Ma continental rift basalts in North Qilian Shan, northwest China: Links between the Qilian - Qaidam block and SE Australia, and the reconstruction of east Gondwana", Precambrian Research, 257 (2015) 47-64.
۴۹. کیقبادی ف.، "ژئوشیمی و تعیین سن متابازیت‌های پشت‌بادام"، ایران مرکزی، پایان‌نامه کارشناسی‌ارشد. دانشگاه دامغان (۱۳۹۵).
۵۰. خبره د.، "پترولوژی و ژئوشیمی مجموعه دگرگونی- آذرین رضا آباد (جنوب‌خاور شاهرود)"، پایان‌نامه کارشناسی‌ارشد، دانشکده علوم زمین، دانشگاه صنعتی شاهرود (۱۳۹۵).
۵۱. بلاغی‌اینالو ز.، صادقیان م.، ژای م.، قاسمی ح.، محجل م.، "کانی‌شناسی، زمین‌شیمی و سن پرتوسنجی دایک‌های مافیک موجود در مجموعه دگرگونی دلبر، بیارجمند (جنوب‌خاور شاهرود)"، مجله بلورشناسی و کانی‌شناسی، سال بیست و دوم، شماره سوم، ۴۸۴ - ۴۷۱ (۱۳۹۳).
۵۲. حسینی س. ح.، صادقیان م.، قاسمی ح.، "پترولوژی، ژئوشیمی و جایگاه چینه‌شناسی اجتماعات دایکی دیابازی قطع کننده توده گرانیتوئیدی بندهزارچاه (جنوب خاور شاهرود) شاهدی بر ماگماتیسم سیمین‌میانی"، مجله ژئوشیمی (دانشگاه آزاد اسلامی زرنده)، سال اول، شماره چهارم، ۳۱۰ تا ۳۱۸ (۱۳۹۳).
۵۳. حسینی س. ح.، صادقیان م.، قاسمی ح.، "اهمیت کنگلومرای سرشار از قطعات گرانیتی به سن اواخر تریاس - اوایل ژوراسیک در تعیین جایگاه چینه‌شناسی توده‌های گرانیتوئیدی بندهزارچاه بیارجمند و جنوب‌غرب میامی"، هفدهمین همایش انجمن زمین‌شناسی ایران - دانشگاه شهید بهشتی (۱۳۹۲).